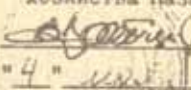


Министерство мелиорации и водного хозяйства КазССР
НАУЧНО-ПРОИЗВОДСТВЕННОЕ ОБЪЕДИНЕНИЕ САНИМГИ

ВРЕМЕННАЯ ИНСТРУКЦИЯ
ПО ОБОСНОВАНИЮ МАТЕРИАЛЬНО-ТЕХНИЧЕСКИХ
СРЕДСТВ ДЛЯ ОБСЛУЖИВАНИЯ СИСТЕМ
ВЕРТИКАЛЬНОГО ДРЕНАЖА

Ташкент — 1990

Министерство мелиорации и водного хозяйства КазССР
НАУЧНО-ПРОИЗВОДСТВЕННОЕ ОБЪЕДИНЕНИЕ САНИРИ

"УТВЕРЖДАЮ"
Зам.министра мелиорации и водного
хозяйства Казахской ССР

Е.А.АРАТЦЕВ
"4" ~~июня~~ 1990 г.

ВРЕМЕННАЯ ИНСТРУКЦИЯ
ПО ОБОСНОВАНИЮ МАТЕРИАЛЬНО-ТЕХНИЧЕСКИХ
СРЕДСТВ ДЛЯ ОБСЛУЖИВАНИЯ СИСТЕМ ВЕРТИ-
КАЛЬНОГО ДРЕНАЖА

Ташкент 1990

"Временная инструкция..." позволяет определять показатели надежности системы ВД, необходимую производительность ремонтной базы, электрооборудования, насосно-силового оборудования, сроки и объемы очистных работ лотковой сети, величину обманного фонда оборудования и страхового запаса, посредством которого ликвидируется дисбаланс из-за неравномерного поступления ремонтного фонда оборудования.

В данной работе приводятся обоснование плановых значений КПР во внутригодовом разрезе для системы вертикального дренажа Джети-сайского района Чимкентской области и требуемые объемы материально-технических средств, необходимых для обеспечения водно-солевого режима почв.

"Временная инструкция..." утверждена Ученым Советом НИО САНИИРИ (протокол № 13/88 от 13 июня 1988 г.).

Составители:

Х.И.Якубов, канд.техн.наук

Р.К.Икрамов, канд.техн.наук

Н.Х.Зайнутдинова, канд.техн.наук

3

Основным требованием, предъявляемым к эксплуатации систем вертикального дренажа, является обеспечение прогнозного режима отбора подземных вод, удовлетворяющего оптимальному водно-солевому балансу орошаемых земель, исходя из которых устанавливается продолжительность работы системы.

Эксплуатация крупных систем ВД в Средней Азии и Казахстане показала несоответствие фактического коэффициента полезной работы (0,18-0,7) с проектным (0,75-0,85). Наблюдаемое повсеместно снижение фактических значений КПР вызвано простыми скважин по различным причинам, возникновение которых обуславливается отказами того или иного элемента скважин, а продолжительность - временем устранения каждого отказа, которая на практике изменяется от 120 до 1400 час.

Удлинение
Увеличение продолжительности простоев объясняется следующими причинами:

- невысоким техническим уровнем строительства, прежде всего нарушением подбора состава гравийной обсыпки;

- недостаточным обеспечением эксплуатационных организаций обменным фондом оборудования, запасными частями, транспортными средствами и квалифицированными кадрами;

- слабой оснащенностью ремонтных баз.

В связи с этим считаем, что вопросы обоснования потребности материально-технических средств для обеспечения прогнозного режима откачки имеют первое значение.

I. ОСНОВНЫЕ ПОЛОЖЕНИЯ

I.1. Согласно настоящей инструкции устанавливаются объемы материально-технических средств, необходимых для организации нормальной эксплуатации систем вертикального дренажа, обеспечивающей на мелиорируемых землях оптимальные водно-солевые режимы почв.

I.2. Инструкция не распространяется на скважины, построенные в целях орошения сельскохозяйственных и водоснабжения населенных пунктов.

I.3. Инструкция является обязательной для эксплуатационных организаций системы ММ и ВХ КазССР.

I.4. Планирование материально-технических средств для систем вертикального дренажа базируется на следующих принципах.

Для существующих систем:

- анализ и оценка фактического мелиоративного состояния земель и режимов работы систем;
- составление и укомплектование режима откачки системы, соответствующего оптимальному мелиоративному режиму;
- проверка возможности реализации прогнозного режима откачки при существующих параметрах надежности систем вертикального дренажа;
- установление требуемых объемов материально-технических средств из условия обеспечения прогнозного режима откачки.

Для новых проектируемых систем:

- оценка и учет эксплуатационной надежности проектируемой системы на основе разработанных эмпирических аппроксимостей;
- составление проектного режима откачки, соответствующего оптимальному мелиоративному режиму и установление требуемых объемов материально-технических средств, обеспечивающих прогнозный режим откачки.

емов материально-технических средств, обеспечивающих прогнозный режим откачки.

I.5. Для рассматриваемого объекта объем откачки системы вертикального дренажа или суммарный ее дебит, согласно "Руководству по проектированию режима работы систем вертикального дренажа для условий Средней Азии" (ВТР-Л-76), должен определяться на основе анализа общих и частных водно-солевых балансов в существующих и проектных условиях, соответствующих оптимальному мелиоративному режиму. Параметры скважин (дебит, динамическое понижение, радиус влияния), их конструктивные элементы (диаметр, глубина скважины, длина и диаметр фильтра, толщина и состав гравийной обсыпки) обосновываются, исходя из схематизации литологических условий и составления расчетной геофильтрационной схемы.

I.6. Объемы откачки системы ВД, определяемые из балансовых расчетов, число скважин, их дебиты и коэффициент полезной работы системы связаны зависимостями

$$Q = \sum_{i=1}^N q_i \cdot KPR, \quad (1)$$

$$N = \frac{Q}{q_{av} \cdot KPR}, \quad (1.2)$$

где Q - суммарный дебит системы, л/с; q_i - расход отдельной скважины, л/с; N - число скважин в системе; q_{av} - средний расход одной скважины, л/с; KPR - объем откачки системы согласно балансовым расчетам за единицу времени, л/с.

I.7. В соответствии с действующими нормативными документами (ВТР-Л-76) среднегодовое значение КПР назначается для мелиоративного периода работы дренажа 0,85-0,9, а для эксплуатационного - 0,7-0,8.

Фактическое значение среднегодового КПР на крупных системах вертикального дренажа изменяется в пределах 0,2-0,7 и редко достигает проектной величины. Основная причина простое сква-

жин – отказ работы электронасосов (до 55 %) вследствие пескования скважин, в результате чего преждевременно изнашиваются трущиеся части насосного оборудования. Интенсивность отказа электронасосов, водоприемных сооружений и водоотводящих каналов зависит от химического состава откачиваемых вод, величины и продолжительности выноса твердых частиц, а последние, в свою очередь, от гранулометрического состава грунта водоносного комплекса и гравийно-песчаной обсыпки (Приложение 1).

1.8. Продолжительность работы системы в разрезе года, по которой устанавливается величина коэффициента полезной работы, рассчитывается, исходя из прогноза водно-солевого режима почв с учетом ежегодных изменений состояния земель и технического уровня систем.

1.9. На величину КПР влияют внутригодовое распределение нагрузки на дренаж, количество скважин в системе и надежность их работы; продолжительность простоя каждого элемента скважины, простой из-за отключения электроэнергии, по режиму откачек, по "просьбе хозяйства"; мощность ремонтной базы, наличие обменного фонда оборудования, подъемно-транспортных средств и ремонтных бригад.

1.10. Для обеспечения требуемой продолжительности работы системы необходима бесперебойная работа скважин в заданные периоды года за счет оперативного обслуживания системы и наличия достаточных объемов материально-технических средств (обменного фонда оборудования, бригад обслуживания и т.д.).

1.11. Обменный фонд представляет собой количество исправного оборудования того или иного элемента скважины, которое должно быть в наличии у службы эксплуатации для своевременного устранения отказов.

Величина обменного фонда данного оборудования определяется ожидаемым числом отказов этого оборудования за рассматриваемый промежуток времени и стартовым запасом, который образуется за счет равномерного (в течение года) поступления исправного оборудования и неравномерного внутригодового распределения КПР, полученного в результате укомплектованного режима откачек.

2. РАСЧЕТ РЕЖИМА ОТКАЧЕК СИСТЕМ ВЕРТИКАЛЬНОГО ДРЕНАЖА

2.1. Расчет и укомплектование режима откачек ведется в следующей последовательности.

2.2. Оценивается мелиоративное состояние земель и практикуемый комплекс мелиоративных мероприятий, анализируются режимы грунтовых и напорных вод, засоленность почвогрунтов, гидродинамика сбросов и частных водно-солевых балансов. Затем систематически анализом всех типов материалов определяется направление, количественные характеристики мелиоративного процесса и причины, вызывающие их изменения. При необходимости по результатам анализа принимаются решения по изменению сложившегося комплекса мелиоративных мероприятий – увеличивают размеры водоподачи, глубины грунтовых вод и дренированность территории, если происходит засоление земель, или уменьшают их, когда достигнуто опреснение почв и грунтовых вод (Приложение 2).

2.3. Режим откачек систем ВД рассчитывается, исходя из фактического количества скважин и их сбитков, рекомендованных режимов орошения и промывок земель для рассматриваемых условий со опытным данными, диапазоном изменения глубин грунтовых вод по периодам года (Приложение 3).

2.4. Укомплектование режима откачек осуществляется методом подбора разных вариантов откачек в целях уменьшения месячных зна-

ционий КИР и выравнивания графика откачек в течение года при распределении ремонтно-восстановительных работ и загрузки эксплуатационного штата.

3. МЕТОДИКА РАСЧЕТА ВЕЛИЧИНЫ КИР, УЧИТВАЮЩЕЙ ТЕХНИЧЕСКОЕ СОСТОЯНИЕ И УРОВЕНЬ ЭКСПЛУАТАЦИИ СКВАЖИН

3.1. Величина КИР определяется по формуле

$$\text{КИР} = \frac{t}{1 + \lambda_1 T_3 + \lambda_{\text{уст}} T_{\text{уст}} + \lambda_{\text{ст}} T_{\text{ст}} + \lambda_2 + \lambda_3}, \quad (3.1)$$

где $\lambda_1, T_3, \lambda_{\text{уст}} T_{\text{уст}}, \lambda_{\text{ст}} T_{\text{ст}}$ - интенсивность отказа и время устранения отказа электронасосов, станций управления, отводящей сети;

λ_2, λ_3 - соответственно доля рабочего времени, характеризующая простой по прочим техническим причинам (из-за отсутствия электроэнергии, по "просьбе хозяйства"). Значения этих коэффициентов приведены в Приложении 5.

3.2. Расчет показателей надежности электронасоса

3.2.1. Интенсивность отказа электронасосов определяется дифференцированно, в зависимости от состава гравийной обсыпки каждой скважины и грунта воднососного пласта по формуле

$$\lambda_2^{\text{ср}} = \frac{\lambda_2' n_1 + \lambda_2'' n_2 + \lambda_2''' n_3}{N}, \quad (3.2)$$

где n_1, n_2, n_3 - количество скважин в системе дренажа, гравийные фильтры которых имеют соответствующие значения коэффициента межсолойности.

Интенсивность отказов электронасоса λ_j , каждой скважины определяется следующим образом.

По имеющимся данным гранулометрического состава гравийной обсыпки и водоносного грунта рассчитывается коэффициент межсолойности

$$C = \frac{d_{50}}{d_{30}}, \quad (3.3)$$

где d_{30}, d_{50} - диаметр частиц, меньше которых соответственно в составе обсыпки и водоносного грунта содержится 50 % по весу.

Если нет данных по фильтровой обсыпке, необходимо выборочно по скважинам, где не происходила просадка устья, отобрать на анализ пробы обсыпки с глубины 1,5-2,0 м от поверхности.

По найденному коэффициенту межсолойности можно рассчитать предполагаемое пскование скважины в момент пуска по графику (рис.3.1) или по эмпирической зависимости

$$\ell = 0,561 - 0,035 \frac{d_{50}}{d_{30}} + 0,15 \cdot 10^{-3} \left(\frac{d_{50}}{d_{30}} \right)^2. \quad (3.4)$$

В зависимости от величины пскования определяется интенсивность отказа электронасосов (рис.3.2) или по расчетным формулам, приведенным ниже для интервалов 0 < K < 0,3 % и K > 0,3 %.

$$d_{50} < 0,2 \text{ мм}; 0 < K < 0,3 \% : \lambda = 0,714 + 16,9 \ell - 60,3 K^2 + 95,9 K^3, \quad (3.5) \\ 1/\text{год};$$

$$K > 0,3 \% : \lambda = 2,06 + 2,23 K, 1/\text{год}; \quad (3.6)$$

$$d_{50} > 0,2 \text{ мм}; 0 < K < 0,3 \% : \lambda = 0,64 + 21,1 K - 86,4 K^2 + 135,6 K^3, 1/\text{год}; \quad (3.7)$$

$$K > 0,3 \% : \lambda = 2,04 + 2,77 K, 1/\text{год}. \quad (3.8)$$

3.2.2. Среднее время, затрачиваемое на устранение отказа работы агрегатов, рассчитывается по формуле

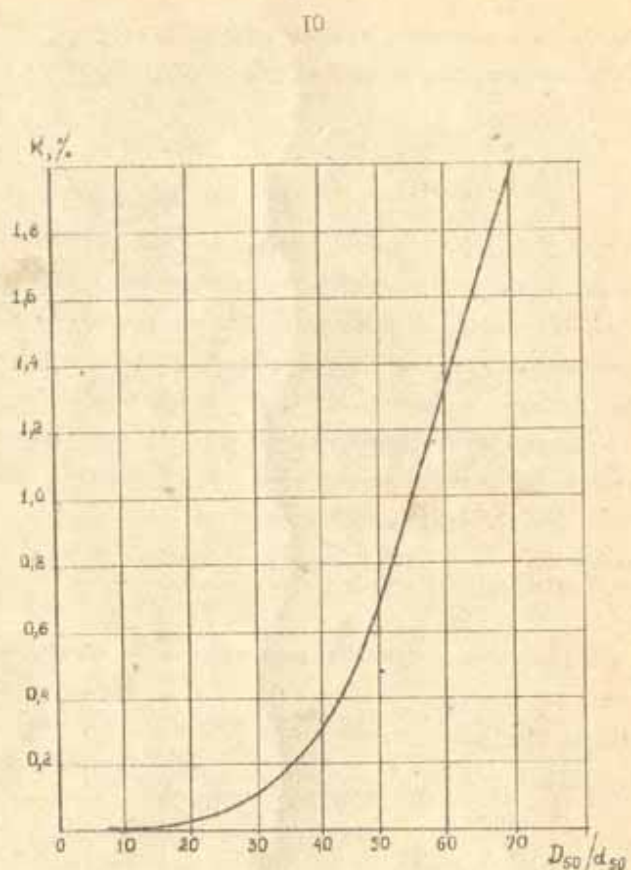


Рис. 3.1. Зависимость концентрации песка в откачиваемой воде из скважин в момент пуска K от коэффициента неоднородности D_{50}/d_{50} .

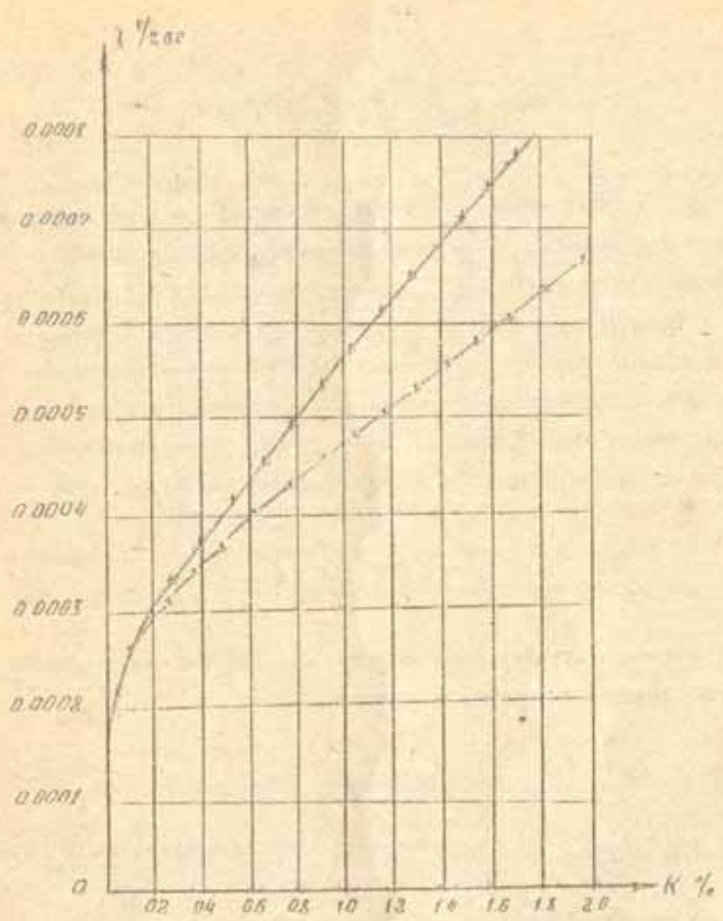


Рис. 3.2. Зависимость интенсивности стоков электротяголов от расходления скважин в момент пуска
0,20 мм:

$\times - \times - D_{50} < 0.20 \text{ mm},$
 $\cdot - \cdot - D_{50} > 0.20 \text{ mm}.$

$$\bar{T}_p = \frac{\alpha^u \bar{T}^u + \alpha^r \bar{T}^r + \alpha^d \bar{t}_f}{\alpha^u + \alpha^r + \alpha^d}, \quad (3.9)$$

где α^u - число отказов, которые устраняются за счет запасных исправных агрегатов; α^r - число отказов, которые устраняются после ремонта агрегата; α^d - число отказов, которые не могут быть устранены из-за отсутствия исправного агрегата и отдельные интервалы времени вследствие недостаточной мощности ремонтной базы, резкого поступления новых элементов или неоперативного обслуживания скважин; t_f - время, затрачиваемое на устранение отказа электронасоса при наличии исправного агрегата.

$$\bar{T}_p = \bar{T}_{ob} + \bar{T}_g + \bar{T}_p + \bar{T}_m \quad (3.10)$$

\bar{T}_p - время, затрачиваемое на устранение отказа электронасоса в случае ремонта отказавшего агрегата.

$$\bar{T}_p = \bar{T}_{ob} + \bar{T}_g + \bar{T}_p + \bar{T}_m, \quad (3.11)$$

где $\bar{T}_{ob}, \bar{T}_g, \bar{T}_p, \bar{T}_m$ соответственно затраты времени на обнаружение отказа, подачу заявки, демонтаж, монтаж и ремонт оборудования.

Рассчитать затраты времени на устранение отказа можно по схеме, приведенной в Приложении 4.

3.3. Расчет показателей надежности станции управления

3.3.1. Интенсивность отказа работы станции управления принимаем, согласно исследованием САИМИИ, равной $10,00014 \text{ л/ч}$.

3.3.2. Время устранения отказа станции управления определяется аналогично времени устранения отказа электронасоса за исключением времени на монтаж-демонтаж агрегата, которое со-

ставляет 0,5 ч.

3.4. Расчет показателей надежности отводящей сети

Отводящая сеть на системе вертикального дренажа представлена железобетонными лотками марки Лр-60, Лр-100 или открытыми канавами в земляном русле.

3.4.1. Интенсивность отказов отводящей сети зависит от поступающего количества наносов (пескование скважины), транспортирующей способности лотка и частоты отключения и пусков скважины / 9 /

$$\lambda_{oc} = \frac{N_{np}}{N_{sp}}, \quad (3.12)$$

где N_{np} - число пусков скважины в год; N_{sp} - число пусков скважины до критического состояния наносов, т.е. такой высоты наносов, при которой наступает перелив воды через лоток

$$N_{sp} = \frac{42100 h_n^5}{96}, \quad (3.13)$$

где L - длина лотка, м; $R = 0,2$; h_n - критическая высота наносов, которая равняется разности высоты лотка h_m и глубины наполнения h_l в нем при заданном расходе воды Q . Величина h определяется по графику 3.3 в зависимости от уклона лотка и расхода скважины; C - объем отложений за один пуск, м^3 .

$$C = \frac{Q}{f_n} \sum_i (\rho_i - \rho) t_i, \quad (3.14)$$

где $f_n = 2000 \text{ г/л}$; ρ_i - мутность потока, поступающего из скважин в лоток, определяется путем натурных наблюдений (пескование скважин), г/л ; ρ - мутность потока, вытекающего из лотка.

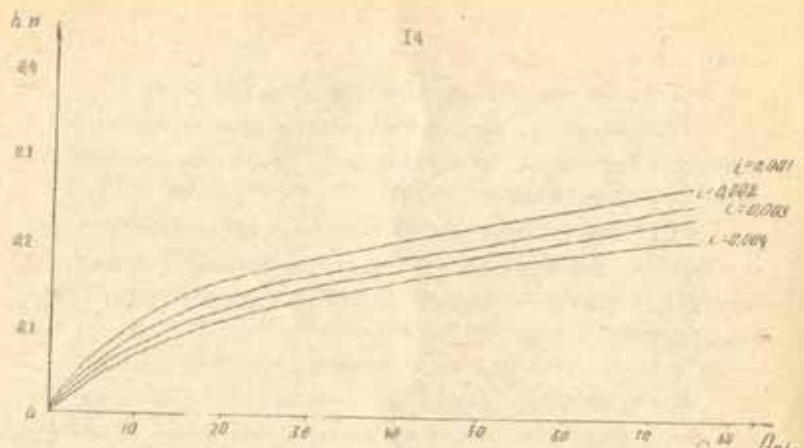


Рис.3.3. Функция $h = f(Q)$ при разных уклонах дна

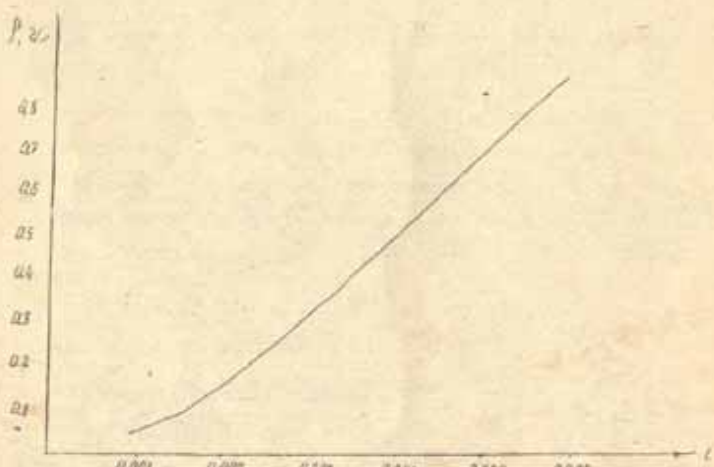


Рис.3.4. Зависимость мутности потока, вытекающего из дотка, $P = f(i)$ от уклона

определяется по графику 3.4, i/λ ; τ_i - время, в течение которого поступает поток с мутностью P_i .

3.4.2. Время устранения отказа (очистки) отводной сети рассчитывается по формуле

$$\tau_{oc} = \tau_{os} + \tau_d + \tau_{ot}, \quad (3.5)$$

где τ_{os} - время очистки лотковой сети, определяется по формуле

$$\tau_{os} = \frac{C N_{op} H_0}{n}, \quad (3.10)$$

где C_{op} - норма времени на разработку вручную 1 м³ грунта I категории глубиной до одного метра равна 0,85 /ч/; n - продолжительность смены, ч.

4. ПРОВЕРКА РЕАЛИЗАЦИИ РАСЧЕТНОГО МАКСИМАЛЬНОГО МЕСЯЧНОГО ЗНАЧЕНИЯ КОЭФФИЦИЕНТА ПОЛКЗНОЙ РАБОТЫ

4.1. Сопоставляем величину КПР, найденную согласно п.2.2 - 2.5 и Приложению 3, с КПР расчетным.

Если $KPR \leq KPR_{расч}$, то техническое состояние и существующий уровень эксплуатации системы способны обеспечить заданную надежность.

Если $KPR > KPR_{расч}$, следует провести мероприятия по повышению эксплуатационной надежности системы ВД.

4.2. Сопоставляем величину КПР_{расч} со значением КПР, рассчитанным с учетом обеспеченности системы материально-техническими средствами, по формуле

$$KPR' = \frac{C_{op}}{\lambda T_e N'}, \quad (4.1)$$

где D_f - фактический обменный фонд оборудования, который складывается из новых агрегатов, поступающих в счет амортизационных отчислений $N^{раб}$ и отремонтированных $N^{рт}$ с ремонтной базы; λ - интенсивность отказов каждого вида оборудования; T_e - календарная продолжительность рассматриваемого периода, ч.

Если $KPR^I \leq KPR_{расч}$, то обеспеченность материально-техническими средствами удовлетворяет требованиям план-графика.

Если $KPR^I > KPR_{расч}$, следует увеличить обменный фонд до требуемых объемов.

5. РАСЧЕТ ТРЕМУЩИХ ОБЪЕМОВ МАТЕРИАЛЬНО-ТЕХНИЧЕСКИХ СРЕДСТВ, ОБЕСПЕЧИВАЮЩИХ ПРОГНОЗНЫЙ РЕЖИМ РАБОТЫ СВД

5.1. Количество новых агрегатов $N^{раб}$, поступающих в счет амортизационных отчислений за год, определяется по формуле

$$N_{раб} = K_u N, \quad (5.1)$$

где K_u - нормативный коэффициент [5.1].

5.2. Производительность ремонтной базы $M_{раб}^{рт}$ за год, необходимая для обслуживания данной системы, равна объему ремонтного фонда, который образуется в период эксплуатации системы

$$M_{раб}^{рт} = \alpha_{раб} - N_{раб}, \quad (5.2)$$

где $\alpha_{раб}$ - ожидаемое число отказов оборудования в год

$$\alpha_{раб} = \lambda T_e KPR N. \quad (5.3)$$

Если ремонтная база обслуживает несколько систем, то общая производительность складывается из суммы требуемых объемов ремонтных работ по восстановлению работоспособности оборудования.

5.3. Страховой запас оборудования ликвидирует дисбаланс вследствие неравномерного поступления ремонтного фонда оборудования и равномерной выдачи из ремонта в течение года, и определяется по формуле

$$C = \max \left\{ C_j = \begin{cases} 0, & \text{если } (\lambda C_j + \alpha C_j) > 0 \\ 1/C_j + \alpha C_j / \text{если } (\lambda C_j + \alpha C_j) \leq 0, \end{cases} \right. \quad (5.4)$$

$$\text{где } \lambda C_j = (N^{раб} / M^{раб}) \cdot \alpha_j, \quad (5.5)$$

где

α_j - ожидаемое число отказов оборудования в j -м квартале.

Таблица 1

Расчет страхового запаса оборудования

Месяц	КПР	Страховой запас	
		первый год	второй год
I			
II			
III			
IV			
V			
VI			
VII			
VIII			
IX			
X			
XI			
XII			

5.4. Годовая величина обменного фонда определяется по формуле

$$D_f = 1/KPR \cdot N^{раб} + C. \quad (5.6)$$

6. РАСЧЕТ КОЛИЧЕСТВА БРИГАД ДЛЯ ТЕХНИЧЕСКОГО ОСЛУЖИВАНИЯ СИСТЕМЫ ВЕРТИКАЛЬНОГО ДРЕНАЖА

6.1. Расчет количества бригад обслуживания по обеспечению заданного значения КПР производится раздельно для каждого вида оборудования скважин (электронасос, станция управления и т.д.) и лотковой сети.

6.2. Количество бригад обслуживания по восстановлению работоспособности скважины из-за отказа насосно-силового оборудования определяется по формуле

$$\mathcal{B} = \frac{\rho_{\text{треб}}}{n}, \quad (6.1)$$

где n - количество рабочих в бригаде / б /; $\rho_{\text{треб}}$ - требуемое количество рабочих для монтажа-демонтажа агрегатов

$$\rho_{\text{треб}} = \frac{W}{t_{\text{раб}}}, \quad (6.2)$$

где $t_{\text{раб}}$ - годовой действительный фонд времени работы одного человека при пятидневной рабочей неделе

$$t_{\text{раб}} = 1.2 \cdot T_{\text{раб}}, \quad (6.3)$$

W - годовой объем работы для бригад обслуживания определяется, чел/ч

$$W = \lambda KPR T_k N H_{\text{бр}}^{w^2}, \quad (6.4)$$

где $H_{\text{бр}}^{w^2}$ - норма времени на монтаж-демонтаж агрегата, чел/ч.

6.3. Расчет количества бригад обслуживания для устранения отказа других элементов скважин вертикального дренажа (станций управления, линий электропередач и трансформаторной подстанции) ведется аналогично вышеприведенной методике.

6.4. Количество рабочих, необходимых для очистки лотковой сети, рассчитывается по формуле

$$P = \frac{t_{\text{ес}}^r}{t_{\text{раб}}}, \quad (6.5)$$

где $t_{\text{ес}}^r$ - годовой фонд времени, необходимый для очистки всей лотковой сети при односменной работе, определяется по формуле

$$t_{\text{ес}}^r = \frac{W_{\text{ес}} \cdot H_{\text{бр}}^{es}}{n}, \quad (6.6)$$

где $W_{\text{ес}}$ - годовой объем отложений

$$W_{\text{ес}} = G \cdot N \cdot N_{\text{пк}}^r, \quad (6.7)$$

(G - объем отложений за один пуск скважины, определяемый согласно п.3.4.1 настоящей методики, м^3); N - количество скважин; $N_{\text{пк}}^r$ - число пусков скважины за год.

Величина $t_{\text{раб}}$ определяется по формуле (6.3).

Приложение 2

Оценка мелиоративного состояния земель и практикуемого комплекса мелиоративных мероприятий

Оценка состояния земель, установление направления мелиоративного процесса (засоление или рассоление почв), количественных его характеристик и причин, вызывающих их изменение, проводится на основе анализа материалов общих и частных водно-солевых балансов.

При балансовых расчетах принимаются удельные значения элементов баланса, отнесенные к единице площади, $\text{м}^2/\text{га}$.

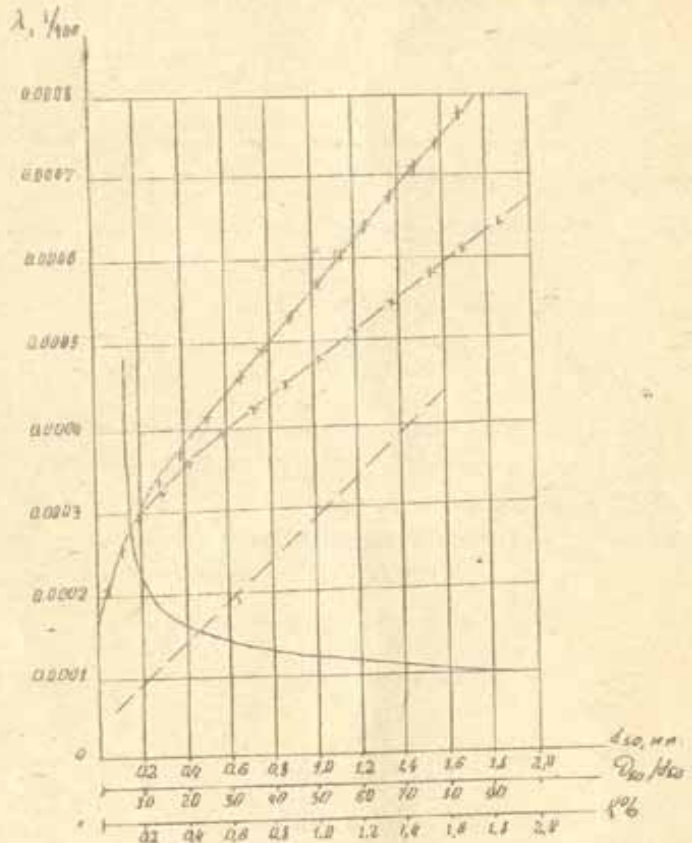
Общие водно-солевые балансы составляются на валовую площадь по уравнениям

$$\Delta W = W_E - W_L = D_c + B + \Phi_{me} \cdot B_f + \delta_{me} + P \cdot D \cdot E_{Lc} \cdot C_o - C_s - \dots - \Phi_{me} \cdot R_L \pm \rho_i \quad (1)$$

$$\Delta C = C_a + \Phi_{me} \cdot C_o + C_{so} + C_{sf} + C_g - C_{so} - C_{sr} - C_{se} \pm C_p, \quad (2)$$

где $\Delta W, \Delta C$ – общее изменение влаги и солей в пределах балансового контура; W_L, W_E – начальные и конечные запасы влаги; B – водозабор; Φ_{me} – потери на фильтрацию из магистрального канала; D, P – приток и отток подземных вод на балансовую территорию со стороны; E_{Lc} – испаротранспирация с валовой площади; C_o – сбросы оросительной воды с полей, обусловленные КЩ техники полива; C_s – организационные потери воды из внутрихозяйственной и межхозяйственной оросительной сети, обусловленные асинхронностью подачи воды хозяйству на поля, а также техническими утечками; R_L – вымывание грунтовых вод в горизонтальный дренаж; ρ_i – объем откачки подземных вод вертикальным дренажем; $\pm \rho$ – вертикальный водообмен балансового слоя с никелехадами; C_o, C_{so}, C_g – содержание солей в соответствующих элементах водного баланса; C_{sr}, C_{se}, C_p – базисы.

ПРИЛОЖЕНИЕ I



Зависимость интенсивности отказов электронасосов от гидрологии, состава гравийной обсыпки и пескования сиваками в момент пуска:

$$\left. \begin{array}{l} d_{50}; \\ D_{50}/d_{50}; \end{array} \right\} \lambda = \left. \begin{array}{l} d_{50} < 0.20 \\ d_{50} > 0.20 \end{array} \right\} k.$$

При отсутствии фактических наблюдений по сбросам оросительных вод их можно установить гидрохимическим методом по формуле

$$C = \frac{D_{\text{вс}}(M_{\text{в}} - M_r) + D_{\text{внек}}(M_e - M_{\text{в}})}{M_{\text{в}} - M_{\text{ор}}}, \quad (3)$$

где $C = C_1 + C_2$ — суммарный объем сбросных оросительных вод; $D_{\text{вс}}$ — сток по коллекторной дренажной сети; $M_{\text{ор}}, M_r, M_e$ — соответственно минерализация оросительной, грунтовой и откачиваемой скважинами воды.

Водно-солевые балансы зоны аэрации составляются на орошаемую площадь нетто по формулам

$$W_e^a - W_n^a - W = \varphi(C_e + C_n + C_g + C_{\text{внек}}) / (1 - \alpha) P_{\text{внек}} - C_{\text{внек}} - E T_{\text{внек}}; \quad (4)$$

$$C_e^a - C_n^a - \Delta C^a = C_g + C_{(1-\alpha)} P_{\text{внек}} + C_{\text{внек}} / C_{\text{внек}} - C_{\text{внек}} + C_g; \quad (5)$$

где $W_n^a, W_e^a, C_n^a, C_e^a$ — соответственно начальные и конечные запасы влаги и солей в зоне аэрации; $\alpha = 0,8$ — доля фильтрации из внутрихозяйственных каналов, поступающей на питание грунтовых вод; $\varphi = \frac{F_n}{F_e}, F_n, F_e$ — соответственно площади нетто и валовая балансового контура; $P_{\text{внек}}, C_{\text{внек}}$ — водо- и солеобмен между зоной аэрации и грунтовыми водами

$$\Omega_p = \theta - \Phi_{\text{внек}} - \Phi_{\text{внек}}; \quad P_{\text{внек}} = \theta / (\eta_{\text{внек}}); \quad \Phi_{\text{внек}} = M_e - C_{\text{внек}}; \quad (6)$$

где $\Phi_{\text{внек}}, \Phi_{\text{внек}}$ — потери на фильтрацию из межхозяйственной и внутрихозяйственной оросительной сети; $\eta_{\text{внек}}, \eta_{\text{внек}}$ — коэффициент полезного действия межхозяйственной и внутрихозяйственной оросительной сети.

Оценка мелиоративного состояния земель и практикуемого комплекса мелиоративных мероприятий осуществляется следующим образом.

1. Анализируется режим грунтовых и напорных вод на рассматриваемой территории (динамика глубин грунтовых и напорных вод, площадей с различной минерализацией ГВ), фактические данные сопоставляются с критерияльными значениями.

2. Оценивается засоленность почвогрунтов зоны аэрации (тип, степень, характер засоления по глубине и площади) и выделяются площади с различной степенью засоления.

3. Анализируются водно-солевые балансы орошаемого поля и общие водно-солевые балансы мелиорируемой территории.

В результате анализа п.1, 2 и 3 устанавливаются направления и количественные характеристики мелиоративного процесса, а также причины, его обуславливающие. Если процесс идет по типу ухудшения плодородия почв (засоление вследствие подъема уровня грунтовых вод и роста их минерализации), то вводятся корректировки в режим орошения и промывок, в работу дренажа в сторону увеличения параметров.

Если же достигнуто опреснение почвы и грунтовых вод на заданную глубину, подбирается соответствующий режим орошения и промывок с уменьшенными нормами. Необходимые их размеры могут быть приняты по действующим нормативно-инструктивным документам.

Приложение 3

Расчет режима откачек системы вертикального дренажа и его укомплектование

Режим откачек системы вертикального дренажа совместно с другими составляющими мелиоративного и агротехнического комплекса должен обеспечить благоприятный водно-солевой режим почв на орошаемом поле для получения высоких урожаев сельскохозяйственных культур. Кроме этой главной цели, при обосновании режима откачек необходимо максимально учитывать требования организации и удобства проведения ремонтно-восстановительных работ, оснащенности эксплуатационной службы материально-техническими ресурсами.

Расчет режима откачек следует производить, исходя из рекомендуемых для рассматриваемой территории режимов орошения и промывки земель, диапазонов регулирования глубин грунтовых вод по периодам года следующим образом.

Имея заданную глубину грунтовых вод в начале сева хлопчатника и расчетное максимально возможное значение КПС, находят глубины грунтовых вод на каждый предыдущий месяц перед промывками. При этом в качестве ориентира можно использовать значения "Временных допустимых глубин залегания уровня грунтовых вод на орошаемых землях" (для ведения кадастра мелиоративного состояния земель) по ИМ и ВХ СССР от 23.01.87 № 10-13-14. Кроме того, можно использовать рекомендуемые САНИПРИ диапазоны регулирования глубин грунтовых вод в различных природно-хозяйственных условиях, полученные в результате многолетних опытно-производственных исследований (см. табл. п.3.1).

Далее расчет ведется на последующие месяцы от начала сева.

Таблица II. З.1

Рекомендации мелиоративные режимы по обоснованию работы систем вертикального дrenажа в условиях Узбекистана и Казахской ССР
Голландский стенд (главные Х.И. Икулова и Р.Х. Петрова)

Геокарологические структуры	Глубина грунтовых вод по периодам года, м				Отношение обивания с/х культур подземным водозабором	Для поливно-погребального назначения с/х культур подземными водами
	I-III	III-II	II-I	У-III		
1	2	3	4	5	6	7
			3.5-4.5	2.5-3.5	2.2-2.7	2.7-3.6
			4.5	3.5	2.5	2.2
						25-30 2-12

Преодоление (расстояние, $D_{\text{рас}}$)
песчаные котловины, долины, пропитанные почвой, и сильноуплотненные почвы и многослойные аллювиальные и дренированные почвами, компактные
 $D_{\text{рас}} = 20-25 \text{ м}$,
 $D_{\text{рас}} = 0.1 \text{ м/сут}$,
голоценовые стены
серпантины драги

ДИПЛОМАТИЧЕСКАЯ ТАБЛ. II. 3. I

26

27

За основу принимается исходная глубина грунтовых вод в начале сезона. При этом одновременно проверяется соблюдение требований к режиму глубин грунтовых вод в период вегетации и после завершения массовых поливов.

На основе ранее определенных глубин грунтовых вод перед промывками и глубинами, полученными в конце вегетации путем расчета, маневрируя объемом откачек, добиваются их совпадения. В этот период основным требованием является создание свободной емкости в почвогрунтах перед промывными поливами.

По результатам прогнозных расчетов глубин грунтовых вод по периодам года производится укомплектование режима откачек. Извлекая глубинами грунтовых вод в допустимых пределах. Необходимо, по возможности, уменьшить значения месячных КПРС и графиков откачек сделать разномерным на более длительный период.

Такой подход к назначению режима откачек позволяет при проектировании уменьшить требуемое количество дополнительных скважин, а при эксплуатации более равномерно в течение года распределить ремонтно-восстановительные работы и загрузку эксплуатационного штата. Кроме того, при укомплектовании необходимо учитывать возможности использования откачиваемых вод на срошение и промывки земель.

Для согласованной взаимоувязки глубин грунтовых вод и требуемых объемов отбора подземных вод с техническими возможностями эксплуатационной службы следует использовать зависимость

$$KIP = \frac{Re \cdot Fb}{q \cdot N \cdot 86,4 t \text{ MBC}} , \quad (I)$$

где q - средний расход одной скважины, л/с;
 N - количество скважин в системе.

При проведении прогнозных расчетов на основе уравнения общего водного баланса следует учитывать, что в зависимости от гидродинамической схемы формирования дебита системы вертикального дренажа нижняя граница балансового слоя принимается различной. В случае, когда дебит системы формируется только за счет инфильтрации сверху (т.е. $\Pi=0$, $P=0$) и гидравлическая связь каптируемого горизонта с покровными отложениями хорошая, требуемые объемы откачки за месячные интервалы времени могут быть определены по уравнению (1)

$$D_p = C_e + B \cdot \Phi_{ne} + B_{rec} - C_n - C_g - EK \cdot D_r - W_e + W_i. \quad (2)$$

Запасы влаги в различных почвогрунтах при прогнозных балансовых расчетах могут быть выражены как функция от глубины грунтовых вод, т.е. $W = W(h)$. Значения их, соответствующие заданным глубинам грунтовых вод, определяются из таблиц, составленных для 4,5-метровой толщи почвогрунтов с использованием формулы И. А. Енгулатова (табл. П.3.2)

$$W = (4,5n - k\bar{A}\sqrt{h} \cdot 10000), \quad (3)$$

где n - пористость; h - глубина грунтовых вод;
 \bar{A} - параметр, характеризующий проницаемость почвогрунтов (для Голодной степи $\bar{A}=0,11$, Тогускентского, Чилийского, Кизилькумского массивов $\bar{A}=0,15$, Арсы-Туркестанского массива $\bar{A}=0,11$).

Используя формулы (2) и (3), прогнозируют глубины грунтовых вод в начале или в конце месяцев

$$W_{i+1} = D_p + B \cdot \Phi_{ne} + B_{rec} - C_n - C_g - EK \cdot D_r - D_f \cdot W_i, \quad (4)$$

где i - начало месяца; $i+1$ - конец месяца.

По полученным значениям W_{i+1} (табл. П.3.2, П.3.3, П.3.4, П.3.5)

Таблица П.3.2
Запас влаги в 4-метровом слое почвогрунтов в зависимости от глубины грунтовых вод (Голодная степь)

	0,00	0,01	0,02	0,03	0,04	0,05	0,06	0,07	0,08	0,09
I	2	3	4	5	6	7	8	9	10	II
0,00	21600	21590	21594	21592	21585	21580	21574	21568	21562	21556
0,10	21548	21542	21535	21527	21520	21512	21504	21495	21488	21483
0,20	21471	21453	21454	21445	21436	21422	21417	21400	21399	21389
0,30	21378	21369	21359	21349	21339	21329	21328	21308	21297	21287
0,40	21276	21255	21254	21243	21232	21221	21209	21193	21187	21175
0,50	21163	21152	21140	21128	21115	21104	21092	21080	21068	21056
0,60	21043	21031	21005	20993	20981	20950	20935	20912	20929	
0,70	20915	20903	20890	20877	20864	20850	20837	20824	20810	20797
0,80	20783	20769	20756	20742	20729	20714	20700	20686	20673	20658
0,90	20644	20630	20616	20587	20537	20501	20573	20558	20544	20529
1,00	20500	20483	20471	20456	20441	20426	20411	20396	20381	20366
1,10	20351	20331	20321	20305	20290	20275	20260	20222	20210	20218
1,20	20197	20162	20166	20150	20135	20119	20103	20087	20071	20055
1,30	20039	20023	20007	19991	19975	19959	19943	19926	19910	19894
1,40	19877	19852	19844	19828	19811	19794	19779	19761	19745	19728
1,50	19711	19694	19678	19661	19644	19527	19610	19593	19576	19559
1,60	19541	19524	19507	19490	19473	19455	19438	19421	19403	19386
1,70	19368	19351	19333	19316	19228	19200	19163	19245	19227	19209
1,80	19191	19174	19156	19138	19120	19102	19084	19066	19048	19030
1,90	19011	18993	18975	18957	18938	18920	18902	18883	18865	
2,0	18828	18810	18791	18773	18754	18735	18717	18690	18679	18661
2,10	18642	18604	18585	18566	18348	18529	18529	18510	18491	18472
2,20	18453	18433	18414	18395	18376	18357	18338	18318	18299	18260
2,30	18260	18241	18222	18202	18183	18163	18144	18124	18105	18065
2,40	18055	18046	18026	18006	17989	17967	17947	17927	17907	17888
2,50	17868	17848	17828	17808	17788	17760	17740	17720	17700	17687
2,60	17766	17648	17627	17607	17585	17566	17546	17525	17505	17485
2,70	17464	17444	17423	17403	17382	17362	17341	17321	17300	17279
2,80	17259	17238	17217	17197	17176	17155	17134	17114	17093	17072
2,90	17051	17030	17009	16988	16967	16947	16924	16904	16883	16862
3,00	16841	16819	16796	16777	16756	16735	16713	16692	16671	16649

Продолжение табл. I.3.2

I	2	3	4	5	6	7	8	9	10	II
3,10	I6626	I6606	I6583	I6564	I6542	I6521	I6499	I6478	I6456	I6434
3,20	I6413	I6391	I6370	I6348	I6326	I6305	I6283	I6261	I6239	I6217
3,30	I6196	I6174	I6152	I6130	I6108	I6085	I6064	I6042	I6020	I5908
3,40	I5976	I5954	I5932	I5910	I5886	I5866	I5843	I5821	I5799	I5777
3,50	I5750	I5732	I5710	I5688	I5665	I5643	I5621	I5598	I5576	I5551
3,60	I5531	I5508	I5485	I5463	I5441	I5418	I5395	I5373	I5350	I5328
3,70	I5305	I5282	I5260	I5237	I5214	I5191	I5168	I5146	I5123	I5100
3,80	I5077	I5054	I5031	I5008	I4985	I4962	I4939	I4916	I4893	I4870
3,90	I4847	I4824	I4801	I4778	I4755	I4732	I4708	I4680	I4668	I4639
4,00	I4593	I4570	I4547	I4524	I4501	I4478	I4455	I4432	I4409	I4386

Таблица I.3.3
Запас влаги в 4-метровом слое почвогрунтов и зависимости
от глубины грунтовых вод (Армесь-
Туркестанский мессен)

	0,00	0,01	0,02	0,03	0,04	0,05	0,06	0,07	0,08	0,09
I	2	3	4	5	6	7	8	9	10	11
0,0	21600	21597	21593	21589	21584	21578	21572	21565	21559	21552
0,1	21544	21537	21529	21521	21523	21504	21493	21487	21478	21469
0,2	21460	21450	21441	21431	21421	21411	21401	21391	21380	21369
0,3	21359	21348	21337	21325	21315	21304	21293	21281	21269	21258
0,4	21246	21234	21222	21211	21198	21186	21174	21161	21149	21136
0,5	21124	21111	21096	21085	21072	21062	21046	21034	21020	21006
0,6	20992	20978	20966	20952	20930	20921	20910	20893	20872	20863
0,7	20854	20839	20826	20811	20807	20802	20786	20773	20759	20744
0,8	20709	20694	20684	20679	20634	20619	20603	20588	20572	20572
0,9	20557	20542	20529	20517	20496	20479	20454	20439	20424	20416
1,0	20400	20384	20368	20352	20336	20319	20303	20286	20264	20254
1,1	20237	20220	20204	20188	20171	20154	20137	20121	20104	20087
1,2	20070	20053	20036	20019	20001	19994	19986	19950	19932	19915
1,3	19897	19880	19845	19827	19809	19792	19774	19756	19738	19730
1,4	19721	19703	19685	19667	19649	19631	19612	19594	19570	19568
1,5	19639	19621	19602	19484	19466	19447	19429	19410	19392	19373
1,6	19354	19335	19317	19298	19279	19250	19241	19222	19203	19184
1,7	19165	19148	19127	19107	19088	19069	19050	19030	19011	18992
1,8	18972	18953	18933	18914	18894	18875	18856	18836	18816	18796
1,9	18775	18756	18736	18716	18677	18657	18637	18616	18590	18596
2,0	18576	18556	18536	18516	18495	18475	18456	18434	18414	18393
2,1	18373	18352	18332	18311	18291	18270	18249	18209	18208	18187
2,2	18165	18146	18125	18104	18083	18062	18041	18020	17998	17978
2,3	17955	17936	17914	17893	17872	17851	17830	17808	17787	17765
2,4	17744	17722	17701	17680	17659	1765	17613	17594	17572	17550
2,5	17528	17507	17485	17463	17441	17410	17389	17376	17353	17332
2,6	17310	17280	17256	17244	17222	17199	17177	17158	17138	17111
2,7	17088	17066	17044	17021	16999	16977	16954	16931	16909	16887
2,8	16864	16842	16819	16795	16774	16751	16729	16706	16683	16660
2,9	16637	16615	16592	16569	16546	16522	16500	16477	16454	16430
3,0	16408	16385	16352	16339	16315	16292	16269	16245	16222	16199

Продолжение табл. IV.3

1	2	3	4	5	6	7	8	9	10	II
3,1	16176	16153	16129	16106	16082	16069	16035	16012	15990	15965
3,2	15941	15918	15894	15870	15848	15823	15799	15776	15752	15726
3,3	15704	15680	15658	15633	15609	15583	15561	15537	15513	15489
3,4	15435	15441	15418	15393	15369	15344	15320	15296	15272	15247
3,5	15223	15199	15175	15150	15126	15101	15077	15053	15028	15004
3,6	14979	14955	14930	14903	14881	14856	14832	14807	14782	14757
3,7	14773	14768	14683	14668	14634	14609	14584	14559	14534	14509
3,8	14484	14459	14434	14409	14384	14359	14334	14309	14384	14269
3,9	14233	14209	14183	14158	14132	14107	14082	14057	14031	14006
4,0	13980	13955	13929	13904	13879	13853	13820	13802	13777	13751

Таблица IV.3'. 4-

Запас азота в 4-метровом слое почвогрунтов в зависимости от глубины грунтовых вод (Тогускимский, Чикинский, Нызякунский насыпи)

	0,00	0,01	0,02	0,03	0,04	0,05	0,06	0,07	0,08	0,09
1	2	3	4	5	6	7	8	9	10	II
0,0	21150	21147	21136	21129	21122	21115	21109	21093	21089	21089
0,1	21080	21071	21061	21051	21041	21030	21020	21009	20998	20986
0,2	20975	20963	20951	20939	20926	20914	20901	20888	20875	20862
0,3	20849	20835	20822	20808	20794	20780	20766	20752	20731	20723
0,4	20708	20693	20678	20663	20648	20633	20602	20586	20571	20571
0,5	20555	20539	20523	20507	20490	20474	20453	20441	20424	20408
0,6	20391	20374	20357	20340	20323	20305	20289	20274	20253	20235
0,7	20218	20200	20182	20164	20146	20129	20110	20091	20073	20056
0,8	20036	20017	19999	19980	19961	19942	19923	19904	19883	19866
0,9	19847	19827	19808	19788	19769	19749	19729	19710	19690	19670
1,0	19650	19630	19610	19590	19569	19549	19529	19509	19483	19467
1,1	19447	19426	194069	19385	19364	19343	19322	19301	19280	19230
1,2	19237	19217	19195	19163	19152	19130	19109	19087	19065	19044
1,3	19022	18993	18978	18956	18934	18912	18890	18868	18845	18823
1,4	18801	18778	18756	18733	18711	18688	18665	18633	18620	18597
1,5	18574	18551	18528	18505	18482	18459	18436	18413	18390	18360
1,6	18343	18320	18296	18273	18249	18225	18202	18178	18154	18130
1,7	18167	18033	18009	18035	18011	17987	17963	17938	17914	17690
1,8	17056	17841	17817	17792	17768	17743	17719	17694	17664	17670
1,9	17620	17595	17570	17546	17521	17496	17471	17446	17421	17395
2,0	17370	17345	17320	17294	17269	17244	17218	17193	17167	17142
2,1	17116	17091	17065	17039	17013	16988	16962	16936	16910	16884
2,2	16858	16832	16806	16780	16754	16727	16701	16675	16649	16622
2,3	16596	16570	16543	16517	16490	16464	16437	16410	16384	17357
2,4	16330	16303	16276	16250	16223	16198	16172	16142	16112	16088
2,5	16060	16033	16006	15979	15952	15924	15897	15870	15842	15815
2,6	15787	1	15732	15705	15677	15649	15622	15594	15566	15538
2,7	15510	15403	15455	15427	15399	15371	15343	15315	15287	15258
2,8	15230	15202	15174	15146	15117	15089	15061	15032	15004	14975
2,9	14947	14830	14861	14832	14804	14776	14746	14717	14680	14659
3,0	14660	14631	14602	14573	14544	14515	14486	14457	14429	14399

Продолжение табл. II.3.4

1	2	3	4	5	6	7	8	9	10	II
3,1	I4370	I4341	I4311	I4212	I4213	I4224	I4194	I4165	I4136	I4106
3,2	I4067	I4049	I4016	I3988	I3959	I3929	I3889	I3870	I3840	I3810
3,3	I3780	I3751	I3721	I3691	I3661	I3631	I3601	I3571	I3541	I3511
3,4	I3481	I3451	I3421	I3391	I3361	I3330	I3300	I3470	I3240	I3209
3,5	I317*	I3149	I3116	I3086	I3057	I3027	I2996	I2958	I2935	I2914
3,6	I2874	I2831	I2812	I2782	I2751	I2722	I2689	I2659	I2628	I2597
3,7	I2656	I2635	I2504	I2473	I2442	I2411	I2380	I2239	I2218	I2206
3,8	I2256	I2224	I2193	I2161	I2130	I2039	I2067	I2038	I2005	I1973
3,9	I1942	I1910	I1879	I1847	I1816	I1784	I1752	I1721	I1689	I1657
4,0	I1626	I1594	I1562	I1530	I1498	I1467	I1435	I1403	I1377	I1339
4,1	I1307	I1275	I1243	I1211	I1179	I1146	I1114	I1082	I1050	I1018
4,2	I0985	I0953	I0921	I0889	I0856	I0824	I0791	I0759	I0727	I0694
4,3	I0681	I0629	I0598	I0564	I0531	I0499	I0466	I0433	I0400	I0468
4,4	I0335	I0302	I0269	I0237	I0204	I0171	I0138	I0105	I0072	I0039

Таблица II.3.
Запасы влаги в 4-метровом слое почвогрунтов в зависимости от
глубины проникновения вод (Кызылординский массив)

		0,00	0,01	0,02	0,03	0,04	0,05	0,06	0,07	0,08	0,09
1	2	3	4	5	6	7	8	9	10	II	
0,0		I8339	I8337	I8335	I8333	I8333	I8329	I8326	I8324	I8322	
0,1		I8320	I8317	I8315	I8310	I8308	I8305	I8303	I8300	I8298	I8296
0,2		I8295	I8295	I9292	I8290	I8287	I8284	I8281	I8278	I8275	I8272
0,3		I8269	I8266	I8263	I8260	I8257	I8254	I8251	I8248	I8244	I8241
0,4		I8233	I8234	I8231	I8227	I8224	I8220	I8217	I8213	I8210	I8206
0,5		I8202	I8198	I8196	I8191	I8187	I8183	I7179	I8175	I8171	I8167
0,6		I8163	I8159	I8155	I8150	I8146	I8142	I8138	I8133	I8129	I8124
0,7		I8120	I8115	I8111	I8106	I8102	I8097	I8092	I8088	I8083	I8078
0,8		I8023	I8068	I8063	I8058	I8053	I8048	I8043	I8038	I8033	I8020
0,9		I8022	I8017	I8012	I8006	I8001	I7996	I7990	I7985	I7979	I7974
1,0		I7968	I7952	I7957	I7951	I7925	I7939	I7933	I7928	I7922	I7916
1,1		I7910	I7904	I7897	I7891	I7885	I7879	I7873	I7866	I7860	I7854
1,2		I7847	I7841	I7834	I7828	I7821	I7815	I7808	I7801	I7795	I7782
1,3		I7781	I7774	I7767	I7761	I7754	I7747	I7740	I7732	I7725	I7718
1,4		I7711	I7704	I7697	I7599	I7582	I7674	I7667	I7650	I7652	I7645
1,5		I7637	I7629	I7622	I7614	I7606	I7598	I7591	I7591	I7583	I7575
1,6		I7559	I7551	I7543	I7536	I7527	I7518	I7510	I7502	I7499	I7485
1,7		I7477	I7468	I7460	I7451	I7443	I7434	I7426	I7417	I7408	I7399
1,8		I7391	I7382	I7373	I7364	I7355	I7346	I7337	I7328	I7319	I7310
1,9		I7300	I7291	I7282	I7272	I7263	I7254	I7244	I7235	I7225	I7216
2,0		I7296	I7187	I7177	I7167	I7157	I7147	I7138	I7128	I7118	I7108
2,1		I7097	I7087	I7077	I7067	I7057	I7046	I7036	I7026	I7015	I7005
2,2		I6994	I6984	I6973	I6963	I6952	I6941	I6931	I6920	I6909	I6888
2,3		I6887	I6876	I6865	I6854	I6854	I6843	I6832	I6821	I6812	I6798
2,4		I6776	I6764	I6753	I6742	I6730	I6819	I6707	I6695	I6684	I6672
2,5		I6660	I6648	I6637	I6625	I6619	I6601	I6589	I6569	I6556	I6553
2,6		I6640	I6628	I6616	I6504	I6491	I6466	I6441	I6441	I6441	I6429
2,7		I6415	I6404	I6391	I6378	I6365	I6352	I6340	I6327	I6314	I6301
2,8		I6280	I6275	I6261	I6248	I6235	I6222	I6209	I6195	I6182	I6168
2,9		I6155	I6141	I6128	I6114	I6101	I6087	I6073	I6059	I6046	I6032
3,0		I5018	I5004	I5000	I5076	I5076	I5062	I5048	I5023	I5010	I5003
3,1		I5876	I5862	I5847	I5833	I5818	I5804	I5789	I5775	I5760	I5745

Продолжение табл. II3.5

1	2	3	4	5	6	7	8	9	10	II
3,2	15730	15715	15701	15686	15671	15656	15641	15625	15610	15596
3,3	15680	15566	15549	15534	15519	15503	15488	15472	15456	15441
3,4	15426	15409	15394	15379	15362	15346	15330	15314	15298	15282
3,5	15266	15250	15233	15217	15201	15184	15168	15152	15135	15119
3,6	15102	15082	15069	15052	15036	15018	15001	14985	14968	14951
3,7	14934	14917	14899	14882	14865	14848	14830	14819	14798	14778
3,8	14761	14743	14762	14708	14690	14673	14656	14637	14619	14601
3,9	14583	14565	14547	14529	14511	14493	14475	14456	14438	14420
4,0	14407									

устанавливается h_{i+1} .

Для случая, когда дебит системы формируется не только за счет инфильтрационных вод сверху, но и за счет напорных вод из нижележащих горизонтов (двуихластовая система), вместо уравнения (1) составляется водный баланс покровного мелкозема

$$\Delta W = \mathcal{Q}_c + \delta + \mathcal{P}_{\text{нв}} + \mathcal{B}_{\text{вс}} + E_{\text{б}} - \mathcal{Q}_{\text{покр}}, \quad (5)$$

где $\mathcal{Q}_{\text{покр}}$ — приток или отток грунтовых вод из покровного мелкозема.

Водный баланс покровного мелкозема составляется и при отсутствии перетекания из нижележащих горизонтов, в случае напорного характера вод каптируемого горизонта (одноихластовая система).

Глубина пьезометрического уровня подземных вод в первом от поверхности каптируемом горизонте, при котором обеспечиваются установленные по балансу глубины грунтовых вод и отток грунтовых вод из покровного мелкозема, определяется по формуле

$$H = h \frac{\mathcal{Q}_{\text{покр}} (t-h)}{t \text{мес} \rho_0}, \quad (6)$$

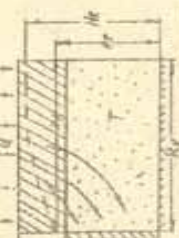
где t — мощность покровного мелкозема; ρ_0^f — коэффициент фильтрации покровного мелкозема; t — число чуток в рассматриваемом месце.

Объемы откачки рассчитываются методом подбора, исходя из условия обеспечения требуемых пьезометрических уровней в первом от поверхности каптируемом горизонте по формулам, приведенным в табл. II.3.6.

По результатам исследований САИСИИ на крупных системах вертикального дренажа, соотношение между оттоком из покровного

Таблица П.Б.Б

Основные величины для расчетов систематического
негидрологического дренажа в условиях стационарной фильтрации

Типовая фильтрационная схема	Различия записоместу		Условия обозначений
	Общий вид	Условия применения	
	$H_0 = h_f + \frac{Q_{fr}}{2\pi} (k_1 \frac{\delta_1}{2} - q_1 s)$ $R_F = \frac{Q_{fr}}{12}$ $\approx 0,58 \text{ м}$ $h_f - j_f = \frac{Q_{fr}}{2\pi k_1 m_1}$ $\sigma = \sqrt{\frac{Q_{fr}}{G_{fr} m_1}}$	(1) (2) (3) (4)	h_f, h_f' - напор в зеркале воды при $j_f = k_1 m_1$ h_f, h_f' - напор в столовой грунтовой воде при $j_f = k_1 m_1$ σ - расчетный радиус окваски, м
	$H_0 = h_f + q_1' \Delta h / (q_1' + q_2) + \frac{Q_{fr}}{2\pi} (k_1 \frac{\delta_1}{2} - q_1 s)$ $J_F = 0,336 \frac{Q_{fr}}{2\pi} \frac{1}{(k_1 + k_2)} (h_f + q_1')$ $B_0 = \sqrt{\frac{Q_{fr}}{m_1 (k_1 + k_2) h_f}}$ $A_F = 0,16 \frac{Q_{fr}}{2\pi k_1},$ $q = \frac{Q_{fr}}{2\pi k_1 m_1 \sigma^2},$ $H_F = H_0 + \sigma \Delta h,$ $\Delta h = 0 - \frac{\partial e_f}{\partial z}$	$T_F (H_f - q_1 s) \frac{1}{(k_1 + k_2)}$ $\sigma = \sigma_0 (k_1 + \frac{k_2}{2\pi}) \frac{1}{(k_1 + k_2)} T_F (k_2) / (m_1)$ $H_0 = q_1 s / (q_1' + q_2)$	h_f, h_f' - напор в зеркале воды при отсутствии закрытия грунтовых вод и при различных значениях m_1 / m_2 , $j_f = k_1 m_1$ $\sigma_0 = \sigma_0 (k_1 + k_2) / (k_1 + k_2 + q_1')$ $q_1' = \text{дебет отвала}$ $A_H = q_1' / \frac{\sigma_0}{2\pi k_1}$
	$H_0 = H_0 [k_0 (R_f) + \frac{C_1 \delta_1}{2\pi} T_F (k_2)] / (m_1)$ $H_0 = q_1 s / (q_1' + q_2)$ $H_F = H_0 + \frac{Q_{fr}}{2\pi} (k_1 \frac{\delta_1}{2} - q_1 s) + \frac{Q_{fr}}{2\pi k_1 m_1}$ $A_H = q_1' / \frac{\sigma_0}{2\pi k_1}$	(5) (6) (7) (8)	h_f, h_f' - зеркало окваски в железобетонной трубе

39.

мелководья $\varphi_{\text{пос}}$ и перетеканием подземных вод из низележащих горизонтов в капитируемых P в общем дебите системы сложилось следующим образом:

Сардобинский массив Голодной степи

Шурузийский массив Голодной степи

Северо-западная часть Голодной степи (Пахтааральский, Дятьковский и Кировский районы)

Кызылкумский массив

Тогукентский массив

Чинлийский массив

Арысь-Туркестанский массив

Кызылординский массив

100:00

60:20

100:00

100:00

95:5

95:5

90:10

100:00

Используя общий водный баланс с укомплектованием режимов отвальчиков, составляется водно-солевой баланс корнеобъектаемой зоны сельскохозяйственных культур.

Для условий Голодной степи защищирована хлопчатника рекомендуется определять по формуле Х.А.Аманова / 8 /

$$ET_x = 11,64 \beta \sqrt{\frac{\sum t^o}{h}} \quad (44), \quad (7)$$

где β - коэффициент, учитывающий водопотребление хлопчатника в отдельные месяцы и разный в апреле - 0,31; мае - 0,57; июне - 0,91; июле - 1,54; августе - 1,38; сентябре - 1,21; октябре - 0,57; $\sum t^o$ - сумма среднесуточных температур воздуха; h - уровень клюкватника, см; t - глубина грунтовых вод, м.

Эвапотранспирация в невегетационный период для условий Голодной степи может быть рассчитана по формуле Илейки и Крица

$$ET_{ns} = 0,498 K_F \cdot P / (t + 17,8), \quad \text{мм} \quad (8)$$

где κ_b - коэффициент, зависящий от вида растительного покрова (для невегетационного периода можно принять $\kappa_b = 0,2$ как для пустынных участков); ρ - доля продолжительности дневных часов в данном месяце от годовой суммы, % (для ноября - 6,72; декабря - 6,52; января - 6,76; февраля - 6,73 и марта 8,33); t^* - среднемесячная температура воздуха, °С.

Для других областей можно использовать формулы, предложенные институтом "Средазгипроводхлопок".

Для вегетационного периода залоготранспирация хлопковым посевом может определяться по формуле

$$ET_x = \frac{E_0^{158}}{51,62}, \quad (9)$$

где ET_x - среднемесячная величина залоготранспирации, мм; E_0 - среднемесячная испаряемость, мм.

$$E_0 = 0,0018 \cdot 0,8 / (t^* + 25)^\rho / (100 - \alpha), \quad (9a)$$

где t^* - среднемесячная температура воздуха, °С; α - среднемесячная относительная влажность воздуха, %.

В невегетационный период залоготранспирацию можно найти по формуле

$$ET_{xB} = \frac{E_0^{121}}{5,0477}. \quad (10)$$

Залоготранспирация с комплексного гектара бахчесовской плодородии устанавливается по формуле

$$EK_x = ET_x \cdot \kappa_c \cdot \beta; \quad (11)$$

$$\kappa_{cB} = \frac{E_0 W_1 + K_B W_2 + M_W}{\sum W_i}$$

где κ_{cB} - средневзвешенный коэффициент водопотребления сельскохозяйственных культур; $\kappa_1, \kappa_2, \dots, \kappa_i$ - коэффициент водопотребления отдельных сельскохозяйственных культур по отношению к хлопчатнику; W_1, W_2, \dots, W_i - соответственно площади под этими культурами.

Переходные коэффициенты для расчета залоготранспирации с поверхностью различных покровов по отношению к хлопчатнику приведены ниже:

Хлопчатник	1,0
Люцерна, многолетние травы, зерновые с посевами многолетних трав	1,2
Кукуруза на зерно, на силос, силосные культуры	0,93
Зерновые озимые, яровые, ячмень	0,875
Многолетние насаждения (листственные, сады, виноградники, тутовник, лесополосы, приусадебные насаждения)	0,93
Кормовые корнеплоды	1,09
Бахчевые, овощи, картофель	0,70
Залежи, отчуждения, пастбища (неоразделенные)	0,25
Прочие неудобья, дороги	0,15
Построики	0,00%
Поселки	0,57
Болота, каналы (по формуле Н.Н.Иванова)	

Прогноз водно-солевого баланса корнеобитаемой зоны сельскохозяйственных культур

Для расчета указанного прогноза необходимо составить водно-солевые балансы зоны ворации минерализуемой территории и поверхностного слоя грунтовых вод, найти минерализацию последнего;

- водно-солевой баланс зоны аэрации орошаемого поля;
водно-солевой баланс корнеобитаемой зоны сельскохозяйственных растений.

Водно-солевые балансы зоны аэрации мелиорируемой территории составляются в расчете на валовую площадь балансового контура по формулам

$$\Delta W_n^a - W_p^a = \Delta W^a \cdot D_c + D_p + B_{dp} + B_{vac} (1-1) \varphi_{ch} - C_0 - E T_n \pm q_1; \quad (12)$$

$$C_n^a - C_h^a = \Delta C^a = C_{op} + C_{el}/g + L(1-x) \varphi_{ch} - C_0 \pm C_1. \quad (13)$$

При балансовых расчетах зоны аэрации орошаемого поля (формулы (4) и (5) и мелиорируемой территории формулы (1) и (2) применяются следующие допущения: глубина грунтовых вод на валовой площади балансового контура и на орошенной нетто одинаковая; исходные запасы воды и солей (в начальный момент расчета) также одинаковы.

В формулах (4) и (12) величину ΔW^a можно определить как $\Delta W^a - \Delta W_p$ (14) или $\Delta W_p = \delta h$ (15), где ΔW_p - изменение запасов грунтовых вод; δ - коэффициент водоотдачи при снижении уровня грунтовых вод или недостаток насыщения при их подъеме; $\delta h = h_p - h_c$ - изменение глубины грунтовых вод.

Величина C_n^a определяется по формуле

$$C_n^a = h \cdot p \cdot g^a \cdot 100 \cdot \gamma, \quad (16)$$

где g^a - содержание солей в почвогрунтах зоны аэрации, % от веса сухого грунта; h - объемная масса почвогрунтов зоны аэрации, т/м³; γ - коэффициент перехода водных вытяжек из исходных расчетных запасов солей, по данным И.С.Ланина, для хлоридных почв он равен 1.17, хлоридно-сульфатных и сульфатных

почв - 1.41. Вынос солей из зоны аэрации инфильтрационными водами (q_1) рассчитывается по формуле

$$C_1 = C^a \left(1 - \frac{1}{e^{\frac{f_a}{\gamma}}} \right), \quad (17)$$

где γ - постоянная вымывания солей, значения которой составляют: для хлоридных почв - 1.5; хлоридно-сульфатных и сульфатных - 4.25; f_a - кратность водообмена в почвогрунтах зоны аэрации.

$$f_a = \frac{q_1}{h_m \cdot 1000}, \quad (18)$$

где h_m - активная пористость почвогрунтов зоны аэрации в десятых единицах.

Для случая подпитывания зоны аэрации грунтовыми водами (q_1)

$$C_1 = 0.001 \cdot q_1 \cdot \mu_r^{mb}, \quad (19)$$

где μ_r^{mb} - средняя минерализация грунтовых вод за расчетный период, г/л (определяется из водно-солевых балансов поверхностного слоя грунтовых вод).

Содержание солей в зоне аэрации на конец расчетного интервала времени определяется как

$$C_n^a = C_n^a + C_{op} + C_{el} \cdot (1-1) \varphi_{ch} + C_{vac} + C_{ch} \cdot \varphi_{ch} - C_{so}. \quad (20)$$

Значения C_{op} , C_{el} , φ_{ch} , C_{vac} , C_{ch} определяются умножением соответствующих элементов водного баланса на их минерализацию.

Водно-солевые балансы поверхностного слоя грунтовых вод составляются для прогноза минерализации поверхностного слоя грунтовых вод. При этом приняты следующие допущения: сосредоточен-

или фильтрация из постоянно действующих магистральных и менее действенных каналов, обусловливая понижение уровня грунтовых вод, не вызывает их разбивления; расчетная мощность поверхности слоя грунтовых вод (h_0) предполагается во внутридгодовом разрезе постоянной и равной 1,0 м; в периоды, когда происходит подпитывание грунтовыми водами зоны аэрации $\mu'' = \text{const}$.

Солевой баланс поверхности слоя грунтовых вод

$$C_e^{**} - C_e^{**} = C_d \varphi_{d\theta} + C_g - C_a ; \quad (21)$$

где C_d^{**}, C_e^{**} — содержание солей в поверхностном слое грунтовых вод в начале и конце расчетного периода; C_d — вынос солей из поверхности слоя (h_0) грунтовых вод в инфильтрацию.

Сток грунтовых вод из расчетного поверхностного слоя (h_0) в инфильтрацию определяются по формулам:

а) при подъеме уровня грунтовых вод

$$Z = (\delta \varphi_{d\theta} + g) / (1 - \frac{\delta W''}{\delta \varphi_{d\theta} - \varphi_{d\theta} + g}) ; \quad (22)$$

б) при спаде уровня грунтовых вод

$$\dot{Z} = \delta \varphi_{d\theta} + g ; \quad (23)$$

в) при $\delta \varphi_{d\theta} < (-g) Z = 0$. (24)

Элементы солевого баланса поверхностного слоя грунтовых вод рассчитываются по формулам

$$C_d^{**} = h_0 S^{**} \varphi_{d\theta} \cdot 100 ; \quad (25)$$

$$C_d = C_d^{**} \left(1 - \frac{\delta}{\delta \varphi_{d\theta}} \right) ; \quad (26)$$

$$K_0 = \frac{\delta}{h_0 \varphi_{d\theta} \cdot 10000} ; \quad (27)$$

$$C_a = C_n - C_d \varphi_{d\theta} + C_g - C_s ; \quad (28)$$

$$S^{**} = \frac{C_e^{**}}{h_0 \cdot \varphi_{d\theta} \cdot 100} ; \quad (29)$$

$$\mu''' = \frac{S^{**}}{\theta} , \quad (30)$$

где S^{**} — содержание солей в почвогрунтах расчетного слоя грунтовых вод, % от веса сухого грунта; θ — пересчетный коэффициент от содержания солей в почвогрунтах (%) для выражения минерализации грунтовых вод (г/л).

Расчет солевого баланса зоны аэрации орошаемого поля производится по тем же формулам, какие использованы для зоны аэрации мелиорируемой территории; только вместо ($\varphi_{d\theta}$) используется (φ) из уравнения (4).

Водно-солевые балансы корнеобитаемого слоя. При расчетах приняты следующие допущения: мощность корнеобитаемого слоя в течение всего вегетационного периода принимается равной (0 м); изменение запасов влаги в корнеобитаемой зоне $\delta W''$ для месячного интервала времени равно нулю; минерализация восходящего тока из грунтовых вод, подпитывающего корнеобитаемую зону, равна средней минерализации почвенного раствора зоны аэрации; соли, поступающие из грунтовых вод в зону аэрации при восходящем токе, с их поверхности полностью откладывается в корнеобитаемой зоне.

Уравнения для составления балансов корнеобитаемой зоны

$$\delta W'' = \theta_e + \frac{f}{\varphi} (\theta_p'' - C_n) - ET_e - g_e ; \quad (31)$$

$$\delta C'' = C_e'' - C_n'' = C_{dH} - C_{dL} + C_g ; \quad (32)$$

где g_e, C_{dH} — водо- и солесодержание корнеобитаемой зоны с нижележащими слоями; C_n'', C_e'' — начальное и конечное содержание со-

лей в корнеобитаемой зоне.

Для случая натекающего тока влаги $-g_2$ вынос солей инфильтрационными водами из корнеобитаемой зоны в нижележащие слои определяется по формуле

$$-C_{g_2} = C^B / \left(1 - e^{-\frac{1}{k^B g_2}} \right), \quad (33)$$

где k^B — кратность водообмена в почвогрунтах корнеобитаемой зоны

$$k^B = \frac{g_2}{k^B \cdot m_2 \cdot 1000}. \quad (34)$$

При получении неблагоприятного солевого баланса в корнеобитаемой зоне производится перерасчет режима орошения, промывок, глубин грунтовых вод и режима отмочек.

В случае подпитывания корнеобитаемой зоны выходящими токами влаги из грунтовых вод $+g_2$

$$+C_{g_2} = 0.001 g_2 \rho_{Mn}, \quad (35)$$

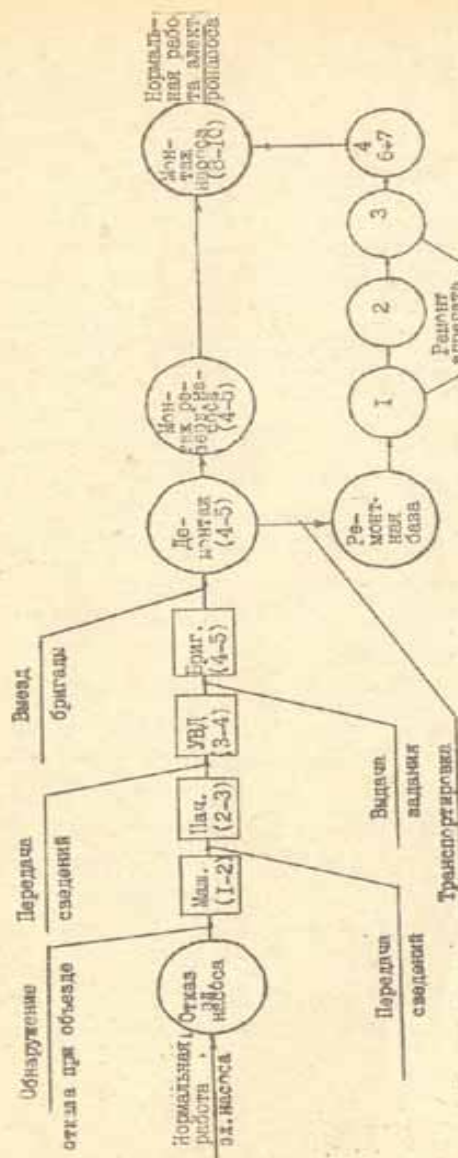
где ρ_{Mn} — минерализация выходящего тока, г/л.

$$\rho_{Mn} = \frac{C^B \delta}{W^A \cdot 1000}, \quad (36)$$

где δ — пересчетный коэффициент от содержания солей в почвогрунтах к минерализации почвенного раствора. По Л.С. Чанику, его значение для хлоридных почв-0,82, хлоридно-сульфатных и сульфатных-0,535; W^A определяется по формуле

$$W^A = k / (1 - \delta^2). \quad (37)$$

Приложение 4



Приложение. Время восстановления производственных систем обработки, т.е. при одновременном обнаружении отказов, пылики, розеток, плюсона, магнитика, транспорта.

Сетевой график восстановления работоспособности скважин (срочный ремонт).

Приложение 5

Значения коэффициентов, определяющих долю рабочего времени, которые характеризуют простой по прочим техническим причинам β_1 из-за отсутствия электроэнергии, по просьбе хозяйства β_2

Объект	ℓ_1	β_1	β_2
Кызылординский массив	0,09	0,03	0,05
Армась-Туркестанский массив	0,18	0,09	0,67
Тоғузкентский, Чилийский и Кызылкумский массивы	0,53	0,15	0,06
Низкая часть Голодной степи	0,04	0,40	1,60

ПРИЛОЖЕНИЕ 6

ПРИМЕР РАСЧЕТА ТРЕБУЕМЫХ ОБЪЕМОВ МАТЕРИАЛЬНО-ТЕХНИЧЕСКИХ СРЕДСТВ И ЧИСЛА РЕМОНТНЫХ БРИГАД ДЛЯ ЭКСПЛУАТАЦИИ СИСТЕМ ВЕРТИКАЛЬНОГО ДРЕНАЖА В ДЖЕТЫСАЙСКОМ РАЙОНЕ

I. Природно-хозяйственные условия, техническое состояние системы вертикального дренажа и оценка мелиоративного состояния земель

Джетысайский район валовой площадью 54558 га расположен в северо-западной части Голодной степи. Ведущая отрасль сельского хозяйства - хлопководство. Удельный вес хлопчатника в севообороте составляет 62,5-69,6 %; 30,4-37,5 % падает на смешанные посевы многолетних трав с кукурузой и колосовыми (ржи). Водоподача для орошения земель района осуществляется из Кировского магистрального канала (КМК). По данным САНИИРИ и Ташкентского отделения "Союзгипрорис", коэффициент полезного действия КМК равен $k_{\text{пол}} = 0,84-0,93$. КПЦ системы межхозяйственных и внутрихозяйственных каналов соответственно равен: 0,80-0,87 и 0,75-0,80, а всей системы (без КМК) - 0,60-0,65.

Урожайность хлопчатника в среднем по району в 1981-1983 гг. соответственно составляла 27,4; 27,3; 26,9.

Межхозяйственная организация территории Джетысайского района с существующей дренажной системой приведена на рис. П.6.1.

Строительство скважин, начатое в 1968-1969 гг., в настоящее время практически завершено. На 01.01.84 г. количество введенных в эксплуатацию скважин, достигло 266. Средний эксплуатационный расход одной скважины, по данным инструментальных замеров, проведенных САНИИРИ в 1983 г., составил 40 л/с.

По природно-хозяйственным условиям на рассматриваемой территории выделяются два гидрогеологических района. Первый распо-

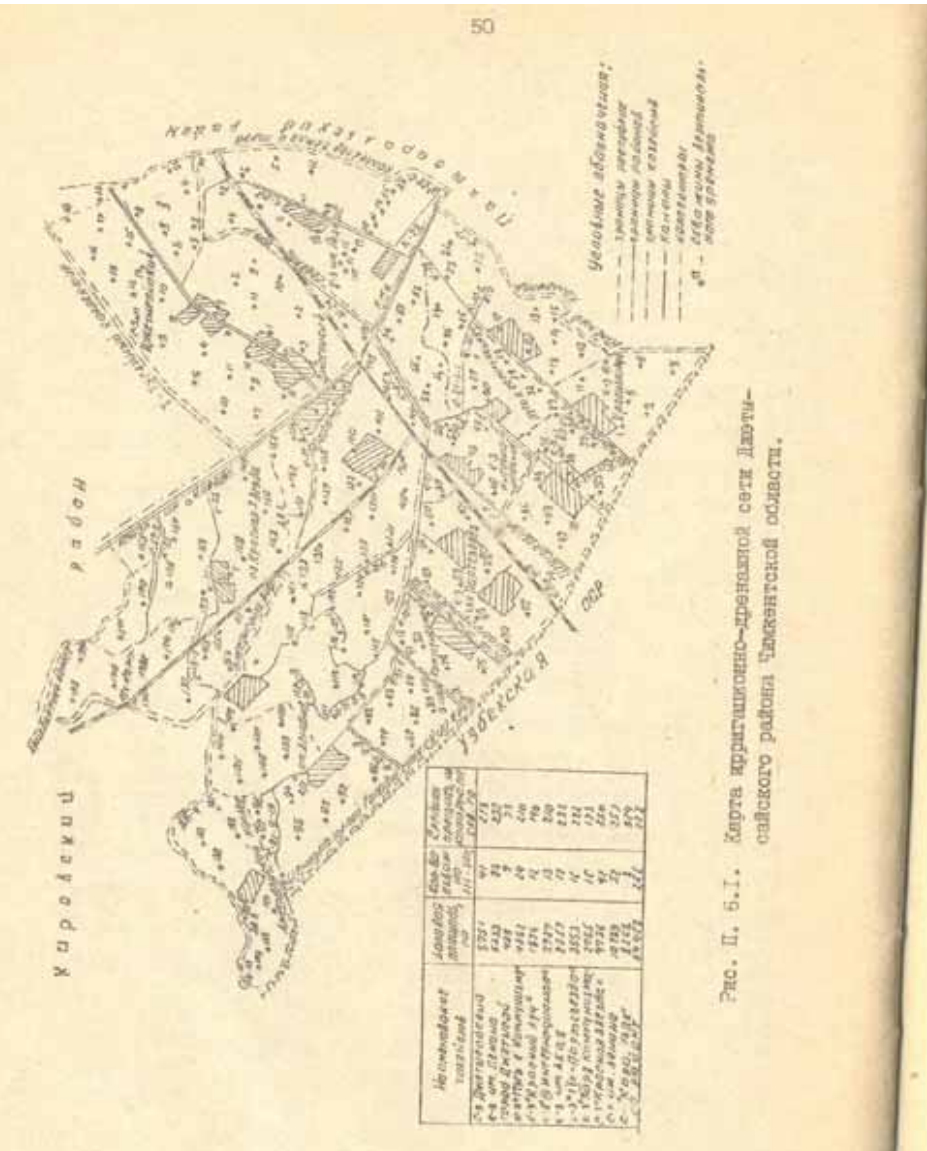


Рис. II, б. I. Карта юрматочно-презентной зоны Краснодарского района Чаканской области.

ложен в склонной части, охватывает земли между ИЖ и условной границей, проходящей на 4-5 км вправо от КМК. По литологическому строению с поверхности представлены супеси, суглинки от легких до тяжелых разностей. Мощность покровного мелковезема изменяется от 15 до 30 м. Средний коэффициент фильтрации K_f на всю мощность покровных отложений равен 0,10-0,12 м/сут. Водоносный, хорошо проницаемый пласт представлен мелко- и тонкозернистыми песками с многослойными отложениями $K_f = 15-20$ м/сут.

Второй гидрогеологический район, занимающий остальную часть территории Джетысайского района, с поверхности представлен суглинками от легких до средних разностей с линзами супесей, глин и песков мощностью 20-30 м, $k_2 = 0,11-0,12$ м/сут. Ниже вскрыт первый, хорошо проницаемый пласт мощностью от 40-50 до 80 м с $k_2 = 25-30$ м/сут.

При работе систематического вертикального дренажа формирование подземных вод на рассматриваемой территории происходит практически полностью за счет фильтрации сропитательных вод из каналов, с полей и атмосферных осадков. Влиянием бокового подземного притока и оттока, а также перетеканием из нижележащих водоносных горизонтов можно пренебречь, т.е. $(\Pi - \Theta) = 0$, $P = 0$.

В настоящее время грунтовые воды в период интенсивного испарения (июнь-август) залегают на глубине 1,9-2,4 м.

Минерализация грунтовых вод достаточно пестрая и колеблется от 1,0 до 10,0 г/л и более. Преобладающая минерализация грунтовых вод равна 3,5-6,0 г/л (табл. II.5.1).

Минерализация откачиваемых вод в среднем по району составляет 4,5-5,5 г/л. Тип засоления грунтовых и подземных вод хлоридно-сульфатный.

Таблица П.6.1

Распределение площадей с различной минерализацией грунтовых вод в Джетысайском районе

Период года	Площадь, охваченная наблюдением, га	Минерализация ГВ по плотному остатку							
		0 - 2	2 - 5	5 - 10	> 10				
	га	%	га	%	га	%			
Весна I/III	39400	11260	28	22615	57	4998	13	506	2
Осень I/X									

Почвы рассматриваемой территории представлены светлыми сероземами, характеризуются большой влагоемкостью, высотой и скоростью капиллярного поднятия, что позволяет за счет накопления в них влаги в невегетационный период сокращать величину оросительной нормы. При таких водно-физических характеристиках почвогрунтов зоны возвращения, как показали исследования САННИИ и солевые опробования Джетысайского УЗБД, конфигурация солевой опоры осенне имеет максимум в верхнем 0-0,8-метровом слое почвы (в среднем 0,55-0,70 % от веса сухой почвы). Глубина содержания солей уменьшается и не превышает 0,30-0,45 %. Соотношение площадей с различной степенью засоления почв показано в табл.П.6.2.

Таблица П.6.2

Распределение площадей с различной степенью засоления почв в Джетысайском районе

Периоды года	Орошаемая площадь, га	Степень засоления, %									
		незасолен.	слабозасолен.	среднезасолен.	сильнозасолен.	очень сильнозасолен.					
		га	%	га	%	га	%				
Весна	39400										
Осень	39451	9861	25	17273	44	4607	12	6250	16	1400	3

В табл.П.6.3 и П.6.4 приводятся общие и частные водно-солевые балансы, характеризующие сложившийся мелиоративный режим и практикуемый комплекс мелиоративных мероприятий.

В последние 3-4 года САННИИ для всей территории Джетысайского района балансы не составлялись. Однако, согласно материалам ДУЭБД, в численных значениях отдельных элементов баланса за эти годы существенных изменений в мелиоративных процессах не произошло.

Многолетними исследованиями САННИИ и Союзних на рассматриваемых землях установлено, что отрицательный водно-солевой баланс и высокие уровни хлорчатника обеспечиваются при оросительных нормах 3200-3600 м³/га и промывных 2500-3000 м³/га на слабо- и среднезасоленных землях, 5000-6000 м³/га на сильнозасоленных при тех же оросительных нормах. Как видно из приведенных балансовых расчетов, фактическая водоподача на территорию района в вегетационный и невегетационный периоды достаточно близка к рекомендуемой.

Таблица П.6.3

Балансовые общие водные и солевые балансы Джетысайского района (средние за 1976-1979 гг.)

Статьи баланса	Годовой		Вегетационный		Невегетационный	
	м ³ /га	т/га	м ³ /га	т/га	м ³ /га	т/га
Ране	908	1,15	657	0,83	246	0,32
Ф	2390	3,03	1500	1,84	890	1,19
Внег	5477	7,29	3429	4,54	2048	2,74
Де	3148	-	1092	-	2050	-
Вод	29	-	29	-	-	-
Итого	11938	11,46	6698	7,21	5240	4,26
Пр	49	0,15	20	0,07	23	0,08
Ср	977	1,27	578	0,73	399	0,54
FT	8616	-	7183	-	1333	-

Продолжение табл. II.6.3

I	2	3	4	5	6	7
<i>Q</i>	-	-	-	-	-	-
<i>Q_р</i>	1782	12,04	913	6,12	869	5,92
Итого	II318	13,46	8964	6,92	2624	6,54

Таблица II.6.4

Фактический водно-солевой баланс зоны воронки орошаемого поля
(средние значения за 1976-1979 гг.)

Статьи баланса	Годовой		Вегетационный		Невегетационный	
	м ³ /га	т/га	м ³ /га	т/га	м ³ /га	т/га
<i>Q_с</i>	3148	-	1043	-	2056	-
<i>Q_р</i>	6313	8,384	3975	4,957	2336	3,427
<i>b_{1/2}</i>	17	0,060	17	0,060	-	-
<i>b_{2/2}</i>	8	0,045	8	0,045	2-	-
<i>b_{3/2}</i>	347	0,487	215	0,298	129	0,189
<i>C_р</i>	619	0,838	366	0,473	253	0,365
<i>E_{тн}</i>	9788	-	7993	-	1795	-
<i>-I₉</i>	+4893	+0,343	+2091	+0,2091	+7,148	+6,805
<i>-AW</i>	+320	+0,481	-957	+12,035	+1277	+3,564

При сложившемся уровне эксплуатации системы вертикального дренажа со значениями КИР = 0,18-0,30 обеспечивается несомнительный отрицательный солевой баланс в целом по территории. В этих условиях, как показывают водно-солевые балансы орошаемого поля, соли, накопленные в вегетационный период, полностью вымываются винными промывками и атмосферными осадками. Поэтому в целом солевой баланс за год складывается положительно с небольшим накоплением солей.

Основной причиной неблагоприятных мелиоративных процессов является недостаточная дренажированность земель, обусловленная низкими значениями КИР, которые в свою очередь, являются следствием:

низкой эксплуатационной надежности системы вертикального дренажа из-за частых отказов насосно-силового оборудования;

низкого уровня организации ремонтно-восстановительных работ из-за недостатка материально-технических и подъемно-транспортных средств, ремонтных бригад;

частых отключений электроэнергии;

проведения режима откачек без увязки с мелиоративным состоянием земель и комплексом мелиоративных мероприятий;

необоснованных остановок скважин по настоимым хозяйствам.

2. Пути улучшения мелиоративного состояния земель

При сложившемся уровне сельского хозяйства в Джетысайском районе одним из главных путей повышения урожайности сельскохозяйственных культур является мелиоративное улучшение земель. В условиях рассматриваемого региона оптимальные мелиоративные процессы обеспечиваются определенным сочетанием режима орошения, промывок, работы системы вертикального дренажа при соответствующем режиме грунтовых вод.

Как показал анализ мелиоративного состояния земель и практикуемого комплекса мелиоративных мероприятий, водоподача на территорию района в вегетационный и невегетационный периоды близка к рекомендуемой. Поэтому для создания оптимальных мелиоративных процессов необходимо резко повысить работоспособность системы вертикального дренажа и создать благоприятный режим грунтовых вод во внутригодовом разрезе.

Многочисленные исследования СДНИИ мелиоративной эффективности вертикального дренажа в рассматриваемом регионе показали, что работа скважин должна обеспечить:

свободную емкость перед промывками путем снижения уровня грунтовых вод в октябре-ноябре на глубину 3,5-4 м;

снижение уровня грунтовых вод к началу посевных работ (апреля) до 2,1-2,3 м;

регулирование уровня грунтовых вод к началу интенсивного испарения с территории (к концу мая) в пределах 2,5-2,6 м;

поддержание грунтовых вод на глубине 2,6-2,8 м в период интенсивного испарения (с июля по сентябрь) в целях снижения их расходования на испарение.

3.1. Прикладочный расчет режима откачки системы вертикального дренажа

При расчете режима откаек исходим из сложившегося мелиоративного состояния земель, характера землепользования, фактической мощности системы скважин (266 скв.) и их дебитов (в среднем 40 л/с). Прогностические расчеты водно-солевых балансов выполняются по методике, изложенной в Приложении 3. За основу принимаются элементы водного баланса реального 1978 г., который по нагрузке на дренаж близок к средненимогодетному, отражает характерную для данной территории закономерность внутригодового распределения и сочетания элементов баланса.

При расчете режима откаек максимальная месличная величина НИРС, согласно "Инструкции по эксплуатации..." /6/, принимается разной 0,8. Для определения запасов влаги в балансовых расчетах используется таблицей в Приложении 3.

3.1.1. Предварительный расчет режима откаек

1. Зная глубину грунтовых вод перед посевом хлопчатника (культурой культуры), путем расчета в обратном порядке (в первом приближении) находим глубину грунтовых вод перед началом промышленных поливов. Для условий Дятьковского района, как показывают многолетний опыт, глубина грунтовых вод перед посевом (начало апреля)

должна быть около 2,2 м. В этот расчетный период максимальный месличный НИРС принимается, согласно расчету, приведенному в Приложении 3, равным 0,8. Отсюда объем откаек в марте составит

$$\mathcal{D}_f = \frac{\Delta H_{\text{ф}} t}{F} = \frac{86,4 \text{ НИРС}}{54558} = \frac{40 \cdot 266 \cdot 31 \cdot 0,8}{54558} = 446 \text{ м}^3/\text{га}.$$

Глубину грунтовых вод в начале марта находим по уравнению (4)

$$\Delta W = W_k - W_n + D_f + \Phi_{\text{сп}} E I - D_f = 324 + 0 + 0 - 446 = 442 \text{ м}^3/\text{га}.$$

При $H_k^{P_0} = 2,2 \text{ м}$ $W_k = 18453 \text{ м}^3/\text{га}$ (см.табл.Приложение 3.2).

Из равенства $\Delta W = W_k - W_n$ находим $W_n = 18453 + 442 = 18875 \text{ м}^3/\text{га}$.

Затем по указанной таблице запасов влаги находим, что $W_n = 18875 \text{ м}^3/\text{га}$ соответствует глубине уровня грунтовых вод, равной 1,97 м. Аналогичные расчеты проводим для февраля, января, февраля и ноября. Глубина уровня грунтовых вод в начале ноября и в конце октября равна 3,04 м (табл.Приложение 6.5).

2. Далее расчеты ведутся на период от посева до начала интенсивного испарения (начало июня). За основу принимается глубина грунтовых вод перед посевом. Маневрируя объемами откаек, добиваемся глубины в конце мая 2,4-2,6 м.

Чтобы к концу мая получить глубину грунтовых вод, близкую к указанной, система должна работать с максимальной нагрузкой (табл. Приложение 6.5). Расчет ведется как для марта, только в этом случае определяются W_k и h_k . Глубина грунтовых вод в конце мая, начиная спада в данном случае равна 2,39 м.

3. В условиях северо-западной части Голодной степи оросительные нормы небольшие, отсюда и нагрузки на дренаж незначительные. Поэтому при назначении режима откаек в этот период основное внимание сосредоточивается на обеспечении необходимых глубин грунтовых вод 2,5-2,7 м. Как показывают расчеты, при интенсивных откачках в зимне-весенний периоды для обеспечения указанных глубин летом откачки из скважин не требуется (табл.Прилок.6.5)

Таблица П. 6.3
расчет режима откачек систем вертикального дренажа ...

Номер месяца	Z_0	β	$\Phi_{\text{внеш}}$	$\Phi_{\text{внут}}$	$E + \bar{J}$	Q_0	Расходные статисты м ³ /га	1) вегетационный период			2) вегетационный период			
								AW , м ³ /га	h_0 , м	h_0 , м	h_0 , м	h_0 , м	W_u , м ³ /га	
XI	652	39	782	309	421	740	+42	3,04	3,02	3,03	10740	10790	0,9	
XII	1553	103	2774	181	446	626	+2149	3,02	1,94	2,45	16790	16939	0,9	
I	453	86	926	158	446	604	+222	1,94	1,82	1,38	16938	19760	0,8	
II	267	-	287	150	402	552	-285	1,32	1,97	1,90	19760	18975	0,9	
III	324	-	324	300	446	746	-422	1,97	2,30	2,05	18975	18453	0,9	
IV	570	75	873	355	417	782	+31	2,20			18453	0,9		
V	670	75	68	813	365	417	782	+31	2,18	2,19	18453	18464	0,9	
VI	273	392	83	748	728	415	1110	-392	2,19	2,39	18464	16532	0,8	
VII	33	1035	144	1212	1050	405	1465	-253	2,39	2,51	2,45	18932	17939	0
VIII	-	1627	153	1780	1940	0	1940	-150	2,51	2,59	2,58	17839	17679	0
IX	-	1108	150	1318	1507	0	1507	-189	2,59	2,74	2,67	17679	17490	0
X	-	328	32	380	1370	0	1370	-290	2,74	3,16	2,95	17490	16500	0
XI	-	316	36	379	559	0	558	2179	3,16	3,24	3,20	16500	16321	0

58

59

В конце октября глубина грунтовых вод составит 3,24 м.

4. Зная глубину грунтовых вод в конце октября (3,24 м), а также определенный ранее уровень перед промывками (3,04 м) и маневрируя объемами откачек в ноябре, необходимо добиваться их совпадения. На этом расчет режима откачек на основании сбалансированного баланса завершается (табл.Прил.6.6).

3.1.2 Укомплектование режима откачек

При укомплектовании режима откачек необходимо методом подбора разных вариантов откачек добиваться уменьшения по возможности максимального межнодового КПРС и выпрямления графика откачек во внутригодовом разрезе.

В рассматриваемом случае (как видно из табл.Прил.6.7), система должна с ноября по январь работать с КПР, равным 0,7. Дальнейшее снижение межнодовых значений КПРС приведет к резкому отклонению глубин грунтовых вод от рекомендуемых.

3.1.3. Прогноз водно-солевого баланса корнеобитаемой зоны при укомплектованном режиме откачек

Для такого прогноза (см.Приложение 3) необходимо выполнить следующие расчеты:

водно-солевой баланс зоны аэрации мелиорируемой территории;

водно-солевой баланс поверхностного слоя грунтовых вод;

водно-солевой баланс зоны аэрации орошаемого поля;

водно-солевой баланс корнеобитаемого слоя почвогрунтов.

В качестве исходных данных для проведения прогнозных расчетов приняты: зона засоления зоны аэрации с солевым максимумом в слое 0-0,8 м. Засоление в этом слое осенью составляет 0,6 т/т веса сухого грунта. Ниже этого слоя до уровня грунтовых вод

Сводный бланк Летческого района при неукомплектованном режиме откачки системы вертикального дренажа

Номер	Q_e	b	Приходные затраты		Расходные затраты		ΔV_e	V_{m_e}	h_{m_e}	h_{φ_e}	W_{u_e}	KTP	
			$m^3/\text{с}$	$\text{руб}/\text{м}^3$	$\text{руб}/\text{м}^3$	$\text{руб}/\text{м}^3$							
1	162	39	782	309	4	313	+469	2,24	3,02	3,73	16321	16790 0,01	
2	263	103	2774	180	446	626	-2146	3,02	1,94	2,48	15790	18288 0,80	
3	453	85	826	158	445	654	-222	1,94	1,82	1,88	18938	19160 0,60	
4	257	-	257	150	402	552	-295	1,82	1,97	1,90	17910	18075 0,80	
5	357	-	324	300	445	746	-422	1,97	2,20	2,08	18875	18453 0,80	
6	324	-	324	365	417	782	-31	2,20	2,19	18435	18484 0,80		
7	370	75	813	365	417	782	-189	2,59	2,74	2,67	17879	17890 0	
8	275	392	83	749	725	415	1140	-292	2,19	2,29	18484	18092 0,70	
9	33	1035	144	1212	1050	405	1455	-253	2,39	2,51	2,46	18692	18339 0,80
10	1227	353	1780	1940	0	1940	-160	2,57	2,59	2,56	17839	17579 0	
11	-	1130	150	1318	1507	0	1507	-189	2,59	2,74	2,67	17879	17890 0
12	-	323	512	330	1370	0	1370	-290	2,74	3,16	2,96	17490	16800 0
13	27	316	36	379	558	0	558	-179	3,16	3,24	3,20	16400	16321 0
14	2426	784	834	11603	8622	2981	11623	0	2,24	2,24	2,24	0,48	
15	1922	2923	228	4978	1097	1744	2841	-	-	-	-	-	
16	903	5061	556	6820	7525	1237	9762	-	-	-	-	-	
17	1	-	-	-	-	-	-	-	-	-	-	-	
18	2825	7884	834	160	560	64	-245	3,09	3,21	3,19	16546	16401 0,13	
19	2825	7884	834	1623	8391	3212	11603	0	0,53	0	-	-	
20	1922	2923	228	4078	1097	1772	2869	-	-	-	-	-	
21	903	5061	656	6830	1440	8734	-	-	-	-	-	-	

8

Таблица 11.6.7

Образец земельного бланка Летческого района при укомплектованном режиме откачки системы вертикального дренажа

Номер	Q_e	b	Приходные затраты		Расходные затраты		ΔW_{f_e}	W_{m_e}	h_{m_e}	h_{φ_e}	W_{u_e}	KTP
			$m^3/\text{с}$	$\text{руб}/\text{м}^3$	E_P	R_d						
1	31	652	39	782	309	352	661	+121	3,21	3,15	3,20	16401 16522 0,70
2	953	1719	103	2774	103	365	544	-2240	3,15	2,04	2,02	16522 18752 0,70
3	267	453	86	3625	153	364	522	-394	2,04	1,68	2,00	18752 19255 0,70
4	257	-	267	150	328	478	-211	1,68	1,99	1,96	19456 18843 0,70	
5	324	-	324	200	364	664	-340	1,99	2,17	2,11	16943 18503 0,70	
6	170	175	63	813	366	352	719	+95	2,17	2,12	2,16	18603 +8000 0,70
7	273	392	83	749	732	354	1096	-348	2,12	2,30	2,30	18603 18225 0,70
8	53	1035	144	1212	1195	352	1347	-335	2,30	2,49	2,40	15225 17917 0,70
9	-	1627	153	1780	1576	104	2380	-300	2,48	2,63	2,55	17917 17617 0,20
10	-	1168	150	1318	1330	104	1634	-316	2,63	2,70	2,67	17617 17299 0,20
11	-	329	52	380	935	100	1035	-656	2,70	3,09	2,94	17299 16646 0,20
12	-	2825	7884	834	160	560	64	-245	3,09	3,21	3,19	16546 16401 0,13
13	-	2825	7884	834	1623	8391	3212	11603	0	0,53	0	-
14	-	1922	2923	228	4078	1097	1772	2869	-	-	-	-
15	-	903	5061	656	6830	1440	8734	-	-	-	-	-

8

засоление разномерное по профилю и равно 0,4 %. Параметры, используемые в расчетных зависимостях для прогнозов, следующие:

$A = 0.11$, $\lambda = 0.48$, $\omega = 0.8$, $\gamma = 1.41$, $\beta = 4.25$, $\vartheta = 0.07$,

Эвапотранспирацию в вегетационный период вычисляли по формуле Х.А Аманова, а в неблагоприятный - по формуле Блитки и Криана.

Урожайность хлопчатника составила 30 ц/га.

Результаты балансовых расчетов приведены в табл. Прил. 6.9.

6.9 - 6.11.

Как видно, при принятых режимах вододоздачи, откачки системы вертикального дренажа и глубин грунтовых вод происходит рассоление как корнеобитаемого слоя, так и зоны затрахи. Засоление почвы корнеобитаемого слоя в вегетационный период в среднем составляет 0,32 %, изменяясь от посева (0,293 %), однако к концу вегетации эта величина возросла до 0,53 %, что вполне допустимо.

При неблагоприятном солевом балансе корнеобитаемого слоя необходимо произвести перерасчет на базе изменения режима орошения, промывок, глубин грунтовых вод и стечек из скважин по системе.

3.2. Расчет требуемых объемов материально-технических средств, числа бригад обслугивания для обеспечения заданных значения КИРС

3.2.1. Расчет КИРС с учетом показателя надежности скважин вертикального дренажа

Эксплуатация системы вертикального дренажа в Дятьковском районе ведется силами Дятьковского ДУЗВД. Для устранения отказов необходимы систематические профилактические осмотры скважин. Их проводят обходчиком раз в три или $f/3$. По обнаружении отказа подается заявка начальнику участка и в Управление вертикального дренажа. На неисправные скважины назначаются ремонтные бригады.

Таблица 6.9

Баланс-балансы зон территории мелиорированной территории

Номер	D_2	Водный баланс, $m^3/га$				Солевой баланс						
		D_p	$(\omega)D_p$	E_f	φ	C_{2A}	C_p	C_f	S_e			
1	31	404	33	309	-139	0,1	0,415	-4,607	229,209	229,209	0,45	0,442
2	315	1293	94	180	-834	1,01	-19,860	145,802	128,251	128,251	0,442	0,398
3	281	22	118	-299	744	0,446	-7,002	117,95	108,264	108,264	0,386	0,360
4	207	-	150	-210	-101	0,105	-5,088	108,264	103,281	103,281	0,366	0,340
5	324	-	-	300	-134	-160	-	-4,014	108,936	104,481	0,337	0,325
6	37	103	2	365	-276	-45	-5,278	-5,856	112,512	106,539	0,321	0,315
7	273	243	20	732	-28	-118	0,339	0,23	104,555	105,324	0,305	0,307
8	37	39	642	42	1195	-313	0,553	+2,516	112,312	115,921	0,306	0,312
9	1038	81	-	1976	-737	-130	1,187	+5,923	123,556	130,666	0,308	0,305
10	77	59	1130	-569	-160	0,559	+5,923	137,362	143,94	0,325	0,338	
11	203	10	936	-371	-345	0,205	+4,565	150,933	155,650	0,336	0,346	
12	17	150	560	-176	-125	0,486	+1,575	170,469	172,101	0,341	0,344	
13	2025	489	-	8391	-355	-	-	-	105	-	724	
14	1922	-	-	-	-	-	-	-	-	-	-	
15	93	-	-	-	-	-	-	-	-	-	-	

Tutoriaal 11.6.5

Водно-солевой баланс по верхностному слою: грунтовые воды

卷之三

四

TADDEI ET AL.

THE JOURNAL OF CLIMATE

Номер	Водный баланс, m^3/a				Солнечный баланс			
	ρ_e	$\rho_{\text{ж}}$	$\rho_{\text{в}}$	$\rho_{\text{з}}$	$\rho_{\text{ж}}$	$\rho_{\text{в}}$	$\rho_{\text{з}}$	$\rho_{\text{ж}}$
I	91	501	41	309	-263	+61	0,415	-7,655
II	933	1321	107	180	-1081	+1120	1,010	-27,355
III	287	343	28	158	-361	+144	0,448	-8,062
IV	267	-	-	150	-218	-101	0,105	-4,678
V	324	-	-	300	-184	-160	-	-3,772
VI	570	134	11	397	-273	+45	0,227	-5,288
VII	233	796	25	794	+27	-168	0,339	10,222
VIII	273	796	64	1295	+248	-166	0,593	+1,933
IX	-	1250	100	2144	+644	-160	1,187	+5,176
X	-	914	73	1660	+507	-166	0,555	+4,074
XI	-	252	20	984	+367	-345	0,202	+2,949
XII	27	243	20	698	+193	-125	0,067	+1,591
XIII	2326	6050	489	8990	-384	0	0	0

1922

Таблица II. 6.11

Заполнение баланса кирзовобиточного сна

Номер	Номер бланда	$\eta / \eta_{\text{ст}}$	D_1	D_2	$\varepsilon / \varepsilon_{\text{ст}}$	ρ	Шламовый баланс						
							C_{20}	$C_{20}^{\text{ст}}$	$\beta_{20}^{\text{ст}}$	$\beta_{20}^{\text{ст}}$	$C_{20}^{\text{ст}}$	$C_{20}^{\text{ст}}$	
1	611	269	-283	0,419	97,02	60,249	0,59	-13,10	94,439	52,634	0,322		
2	653	1321	-160	1,01	94,335	62,434	0,592	-5,742	79,703	49,486	0,493		
3	661	1318	-177	0,448	79,703	49,495	0,493	-17,169	62,982	39,112	0,389		
4	281	-110	-117	0,105	62,352	39,112	0,389	-9,286	63,893	39,412	0,333		
5	257	-	-340	-34	53,613	33,312	0,383	-40,651	53,152	33,377	0,329		
6	324	134	107	0,228	53,142	33,07	0,329	-7,659	45,771	28,463	0,283		
7	401	273	794	-220	0,539	45,771	39,422	0,263	+1,893	48,203	26,293	0,296	
8	273	301	796	-407	0,393	48,203	39,934	0,298	+4,958	52,854	32,222	0,325	
9	21	1250	-1254	-109	1,187	62,864	32,822	0,325	17,98	62,021	38,515	0,383	
10	11	-	-	-	-0,94	62,021	38,516	0,383	-7,021	69,169	43,219	0,420	
11	11	-	-	-	-0,95	69,497	43,219	0,400	-7,131	76,93	47,773	0,476	
12	232	994	-732	0,202	-	-	-	-	-	-	-	-	
13	-	-	-	-	-0,067	76,93	47,773	0,473	-3,368	80,365	49,906	0,477	
14	243	388	-338	-	-	-	-	-	-	-	-	-	
15	2365	8360	6960	-96	-	-	-	-	-	-	-	-	

При расчете принимается допущение о постоянном наличии на участке исправного оборудования, материалов, инструмента и транспорта.

Расчет КИРС производим по формуле (см.п.2.1)

$$KPRC = \frac{1}{T} ((\bar{t})_{\text{ЭН}} + (\bar{t})_{\text{упр}} + (\bar{t})_{\text{ст}}) \rho + L + K_2 + P_3$$

Определяем показатели надежности элементов скважин.

3.2.2. Электронасос

При строительстве системы был заложен гравийный фильтр с коэффициентом межслойности

$$C = \frac{R_{50}}{d_{50}} = 35 \cdot$$

По графику (2.1) находим величину возможного пескования: $\eta = 0,16 \%$.

Интенсивность отказа электронасоса находим из графика (2.2) для грунтов с $d_{50} < 0,20$

$$\lambda_{\text{ст.упр}} = 0,00028 \text{ 1/час.}$$

Длительность устранения отказа электронасоса определяем по сетевому графику, разработанному по материалам существующего ДУЗД (Приложение 4). $T_{\text{ст.упр}} = 120 \text{ час.}$

3.2.3. Станция управления

По данным САИМРУ, интенсивность отказов станции управления $\lambda_{\text{ст.упр}} = 0,00014 \text{ 1/час.}$ Время устранения отказа станции управления принимаем аналогично времени устранения отказа электронасоса, за исключением времени, затраченного на установку насоса, т.е. $T_{\text{ст.упр}} = 110 \text{ час.}$

3.2.4. Отводящая сеть

Интенсивность процесса занесения ионовами зависит от концентрации

ности потока, поступающего количества наносов, гидравлических элементов, числа пусков скважин.

Пример расчета.

Интенсивность отката огроцидной сети определяем по формуле (3.111). Предварительно рассчитываем объем отложений в лотке за один пуск по формуле (3.13).

Транспортирующую способность потока из лотка определяем по графику 3.4 в зависимости от уклона лотка, равного 0,0016, $\rho = 0,10 \text{ г/л}$.

Фактическую мутность потока ρ_i находим путем натурных наблюдений за процессом пескотяжения скважин (табл. Прилож. 6.12).

В табл. (Прилож. 6.5) дается пример расчета объемов отложения наносов и объемов наносов, которые поток транспортирует в коллектор.

Как видно из табл. П.6.5, после работы скважины до следующей остановки объем занесения песка составил 0,034 м³.

Предельное количество пусков скважин, при котором вода начинает переливаться через лоток, т.е. высота наносов достигает критического значения, определяем по формуле (3.12).

Критическую высоту наносов $h_{\text{кр}}$ рассчитываем как разность между высотой лотка h_L и глубиной наполнения h в лотке при заданном расходе скважины.

При $Q = 50 \text{ л/с}$, $i = 0,0016$ (по графику 3.3) находим $h_L = 0,24 \text{ м}$. Тогда при типоразмере лотка $l_p = 60$, $h_{\text{кр}} = 0,36 \text{ м}$.

Предельное число пусков скважины при длине лотка L , равной 400 м, составляет

$$\sqrt{\frac{h}{l}} = \frac{4,400 - 2,0,2 - 0,36^{1,5}}{9 \cdot 0,034} = 456.$$

Таблица П.6.12

Суммарное занесение наносов в лоток скважин,	$\frac{\Delta t_i}{l_p}$	$\rho_i \cdot \rho_e \cdot A_i$	$A_i \cdot \Delta t_i \cdot k_i$	$G \cdot k_i \frac{\rho_e}{K_h}$	$\sum G$
					η^3
2	1,8	2	0,12	1,7	0,204
3	1,6	3	0,13	1,9	0,196
4	1,2	5	0,30	1,1	0,33
5	0,9	10	0,60	0,8	0,48
6	0,40	20	1,20	0,5	0,60
7	0,40	30	1,80	0,3	0,54
8	0,320	60	3,60	0,10	0,36
9	0,16	60	3,60	0,05	0,18
10	0,14	180	12,8	0,0	-
11	0,08	1070	64,2	-0,02	1,264
12					0,034

В среднем за год число пусков на скважине достигает 100. Следовательно, при пусковании в момент пуска $K = 0,38$ % интенсивность отказов $\lambda_{\text{ст}}$ составит 0,219 1/год, или 0,00003 1/час.

Продолжительность очистки определяется по формуле (3.16). Всего за год отложится 3,4 м³ песка. Следовательно, на очистку потребуется 3,4·0,85 = 3 часа.

Общее время устранения отказов отводящей сети $T_{\text{ст}}$, исходя из принятой схемы (Приложение 4), составит 100 ч.

Чтобы определить коэффициент полезной работы, коэффициенты K_1, K_2, K_3 принимаем 0,04; 0,40; 1,6 (см. Приложение 5).

Таким образом, КИР системы ВД в Джетысайском районе, при помощи которого оценивается техническое состояние скважин, составит

$$\text{КИРС} = \frac{1}{1 + (0,00028 \cdot 120) + (0,00014 \cdot 110) + (0,00003 \cdot 100) + 0,04 \cdot 0,4 \cdot 1,6} = 0,32.$$

Сравнив данную величину КИРС с максимальной месячной величиной КИРС_{расч} = 0,7, из табл. (П.6.7), можно сделать вывод, что система по техническому состоянию и уровню эксплуатации не достигает заданной дренированности.

3.2.2 Расчет КИР^с с учетом обеспеченности материально-техническими средствами

По данным ДУЭД, новых насосов поступает 15 %, т.е. 40 аппаратов. Количество отремонтированных насосов составляет 272 шт., т.е. фактический обменный фонд составляет 312.

Величина КИР^с, определяемая по формуле (2.26), равняется

$$\text{КИР}^{\text{с}} = \frac{312}{0,00028 \cdot 8760 \cdot 266} = 0,48.$$

Сопоставив полученные КИР^с с расчетной по режиму откачки, получим, что для достижения заданной дренированности требуется увеличить обменный фонд до заданной величины.

Кроме того, необходимо полностью исключить простой "по просьбе холдинга", что увеличит КИРС до 0,67.

3.3. Расчет требуемых объемов материально-технических средств

Расчет обменного фонда электронасосов для Джетысайского района производится следующим образом.

Исходные данные:

количество скважин $N_{\text{ск}} = 266$;

интенсивность отказов электронасоса, определенная по вышеизведенной методике, $\lambda_{\text{ст}} = 0,00028$ 1/час;

среднегодовое значение КИРС = 0,53;

внутригодовое распределение КИРС.

С января по июнь КИРС = 0,7, с июля по сентябрь - 0,2, в октябре - 0,13, в ноябре-декабре - 0,7.

Количество новых насосов, поступающих в счет амортизационных отчислений $N^{\text{нов}} = N_{\text{ск}} \cdot 0,35$.

Проектная мощность ремонтной базы управления

$$M_{\text{пр}} = 1400 \text{ ремонтов в год.}$$

Ожидаемое число отказов системы в год составит

$$A \cdot \lambda_{\text{ст}} \cdot \text{КИРС} \cdot T_e \cdot N_{\text{ск}} = 0,00028 \cdot 8760 \cdot 0,53 \cdot 266 = 338 \text{ отказов.}$$

Количество новых насосов, поступающих в счет амортизационных отчислений $N^{\text{нов}} = 266 \cdot 0,35 = 91$, $N^{\text{нов}} : 91 : 21 = 7,6$.

Требуемая мощность ремонтной базы:

$$M_{\text{пр}} = 338 : 91 = 247.$$

Проектная мощность ремонтной базы ДУЭВД M_{pr} 1400 ремонтов в год. ДУЭВД подчинены три района: Пахтвааральский (264 скв.), Кировский (241 скв.) и Джетысайский (261 скв.). Таким образом, разделив проектную мощность ремонтной базы между всеми районами одинаково, получим $M_{prj} = 466$ ремонтов.

Сопоставляя величины M_{prb} и M_{prj} , можно сделать вывод, что мощность существующей ремонтной базы достаточна.

Рассчитываем величину страхового запаса по формуле (2.30) и (2.31).

Определяем среднемесячное количество ремонтов, проводимых ремонтной базой при условии равномерной нагрузки

$$N_j^{\text{раб}} \cdot \frac{M_{prb}}{12} = \frac{247}{12} = 20,6.$$

По проектному внутригодовому распределению КПС рассчитываем ежемесячное ожидаемое число отказов по формуле

$$\alpha_j = K_{PRC} \cdot T_j \cdot \lambda_{\text{эк}} \cdot N_{скв}.$$

Затем сопоставляем ежемесячное количество поступающих насосов $N_j^{\text{ст}} + N_j^{\text{раб}}$ и ожидаемое число отказов α_j .

Расчет осуществляется в табличной форме.

Таблица II.6.13

Месяц	КПС j	α_j	$N_j^{\text{ст}}$	$N_j^{\text{раб}}$	Расчет страхового запаса		
					первый год	третий год	
1	2	3	4	5	6	7	8
I	0,7	38	21	8	-9	-9	-29
II	0,7	34	21	8	-5	-14	-34
III	0,7	38	21	8	-9	-23	-43
IV	0,7	37	21	8	-8	-31	-51
V	0,7	36	21	8	-9	40	-60
VI	0,7	38	21	8	-9	-49	-69

Продолжение табл. II.6.13

I	2	3	4	5	6	7	8
УП	0,2	II	20	7	+16	-33	-53
УШ	0,2	II	20	7	+16	-17	-37
IX	0,2	10	20	7	+17	0	-20
X	0,13	7	20	7	+20	0	0
XI	0,7	38	20	7	-11	-11	
XII	0,7	38	21	8	-9	-20	

Из табл. II.6.13 видно, что в первые шесть месяцев работы скважины с КПС 0,7 ожидаемое число отказов выше, чем поступление новых и отремонтированных насосов с ремонтной базы. Поэтому дефицит насосов составляет 69 шт., что и является величиной обменного фонда.

3.4. Определение числа бригад обслуживания в Джетысайском районе

Исходные данные:

количество скважин $N_{скв} = 266$;

интенсивность отказов электронасоса $\lambda_{\text{эк}} = 0,00028$ 1/час;

среднегодовой коэффициент полезной работы скважин КПС 0,53;

норма времени H_{pr} на демонтаж-монтаж электронасоса, по данным ДУЭВД, составляет 29,17 чел/час;

количество рабочих дней в году одного рабочего при пятидневной неделе с учетом отпусков и отсутствия на работе по болезни (4,4 %), т.е. $T_p = 219$ сут.

Определяем годовой объем работы для бригад обслуживания $W = \lambda_{\text{эк}} T_p N_{скв} H_{pr} = 0,00028 \cdot 0,53 \cdot 219 \cdot 266 \cdot 29,17 = 9890$ чел/час.

Годовой действительный фонд времени работы одного рабочего при пятидневной рабочей неделе равен

$$t_{раб}^{нр} = 8,2 \cdot 219 - 17,95 \text{ час.}$$

Требуемое количество рабочих для производства демонтажа-монтажа электронасосов рассчитывается следующим образом:

$$P_{tr} = \frac{W}{t_{reg}} = \frac{9890}{1795} = 5,5$$

С учетом установленного состава бригады из трех человек /6/.

$$\beta = \frac{5,5}{3} = 1,84.$$

Следовательно, для обеспечения расчетного НИРС в районе необходимы 2 бригады обслуживания.

Список использованной литературы

1. Мелиоративные системы и сооружения. Дренаж на орошаемых землях. Нормы проектирования ВСН 33-2.2.03-86. - М., 1986.
2. Схемы организации эксплуатации СВД в старой зоне Годской степи. - Ташкент: Узгипроводхоз, 1974.
3. Проект эксплуатации вертикального дренажа и закрытого горизонтального дренажа на территории Пахтзоральского Кировского и Джетысайского районов Чимкентской области КазССР. - Ташкент: Союзгипрорис, 1974.
4. Единые нормы и расценки на строительно-монтажные и ремонтно-строительные работы. Сборник 2. Земляные работы. - М., 1979.
5. Нормы амортизационных отчислений по основным фондам народного хозяйства СССР и положение о порядке планирования, начисления и использования амортизационных отчислений в народном хозяйстве. - М., 1974.
6. Инструкция по эксплуатации систем (скважин) вертикального дренажа. - М.: Союзводпроект - 1976, 112 с.
7. Автоматизация скважин в совхозе "Фарҳад": Отчет о НИР (заключ.) // САНИМРИ; руководитель В.Т. Насыров. № ГР-4214-1974. - 92 с.
8. Аманов Х.А. Определение суммарного расхода воды на хлопковом поле при близком залегании грунтовых вод // Гидротехника и мелиорация. - 1967, № 7.
9. Скрыльников В.А., Зайнутдинова Н.Х. Расчет заиасения лотковой сети при работе скважин вертикального дренажа. // Совершенствование расчетов русловых процессов, водозаборных защитно-регулировочных сооружений и каналов в условиях большого отбора воды из рек. - Ташкент: САНИМРИ, 1987, с.124-132.